

---

# §3 Transformationen und Projektionen

- 3.1 Koordinatentransformationen
- 3.2 Transformationen in der Ebene
- 3.3 Transformationen im Raum
- 3.4 Projektionen
- 3.5 Windowing
- 3.6 Clipping

## 3.1 Koordinatentransformationen

---

- **Beispiel:** Koordinatensysteme der Objekte und des Ausgabegerätes unterscheiden sich:
  - Objektsystem: 3D-Koordinatensystem des Objektes ist über geometrische Eigenschaften des Objektes festgelegt, z.B. ausgezeichnete Richtungen, Symmetrien.
  - Gerätesystem: 2D-Koordinatensystem des Bildschirms oder die Größe der Bildfenster ist durch das Gerät selbst definiert, z.B. Nullpunkt in der linken, oberen Ecke,  $x$ - und  $y$ -Achsen parallel zu den Bildrändern.
  - Koordinatentransformationen im  $\mathbb{R}^2$  oder  $\mathbb{R}^3$  transformieren das Objektsystem in das Gerätesystem: Translationen, Skalierungen, Rotationen, Projektionen.

## 3.1 Koordinatentransformationen

---

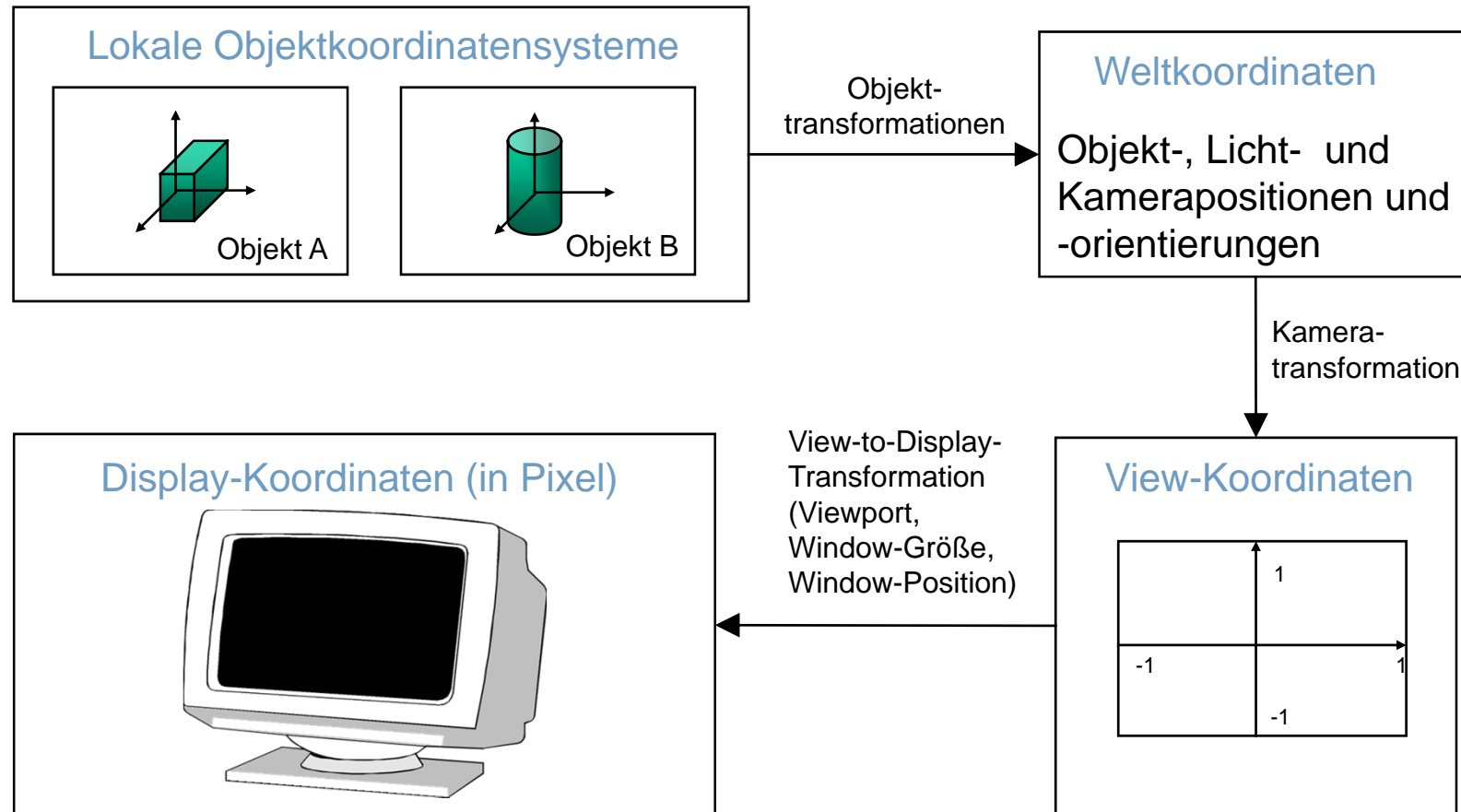
### Motivation

Objektdefinition, Szenenmodellierung, Sichtdefinition,  
Animation, Rendering, Ausgabe, ...

- Einsatz verschiedenster Koordinatensysteme
- Koordinatentransformationen im 2D-, 3D-Raum  
(Verschiebungen, Skalierungen, Drehungen,...)  
zur Definition von Position und Orientierung!
- Matrixoperationen
- Hard- und softwaregestützte Umrechnung / Transformation  
zwischen Koordinatensystemen  
(i.d.R. bis auf Translationen Basistransformationen im  $\mathbb{R}^3$ )

## 3.1 Koordinatentransformationen

Überblick / Zusammenspiel:



## 3.1 Koordinatentransformationen

---

### 3.1.1 Objektkoordinatensystem (local / object / modeling coordinate system)

- Eigenes **3D**-Koordinatensystem für jedes Objekt sinnvoll.
- Erleichtert Modellierung und Animation.
- Oft über
  - geometrische Eigenschaften des Objekte, z.B. Symmetrien oder ausgezeichnete Richtungen, oder
  - gewünschte Aktionen des Objektes, z.B. Flug entlang Kurve mit gleichzeitiger Drehung,festgelegt.
- Auch für Lichtquellen möglich.

## 3.1 Koordinatentransformationen

---

### 3.1.2 Weltkoordinatensystem (world / global / scene coordinate system)

- Hier „lebt“ die gesamte Szene im **3D**.
- Objekte (Objektkoordinatensysteme) werden mittels Transformationen platziert.
- Zum Rendern: Umrechnung lokaler Objektkoordinaten in globale Objektkoordinaten mit den **Objekttransformationen**.
  - Bei Animationen d.h. animiertes Objekt: dynamisch in jedem Frame.
- Hier ebenso: Beleuchtung der Szene.

## 3.1 Koordinatentransformationen

---

### 3.1.3 Sichtkoordinatensystem (eye / camera coordinate system)

- Konzept: virtuelle Kamera im **3D** mit entsprechenden Parametern.
- Im Weltsystem (mittels Transformationen) verankert.
- So soll es der Beobachter sehen, d.h. hier wird auch der Bildausschnitt (Sichtfenster siehe Seite §3-8) definiert!
- Zum Rendering: i.d.R. Umrechnung globaler Koordinaten in Sichtkoordinaten („Szene vor die Kamera drehen“).
  - Bei Animationen d.h. animierter Kamera: dynamisch in jedem Frame!
- Virtuelle Kamera bestimmt auch Art der Projektion.

## 3.1 Koordinatentransformationen

---

### 3.1.4 View Coordinate System / View Plane Coordinate System

- Koordinatensystem in der **2D**-Bildebene.
- Durch Projektion (**Kameratransformation**) werden den 3D-Koordinaten 2D-Koordinaten der Bildebene zugeordnet.
- Ein **Window** definiert ein Sichtfenster in der Bildebene.



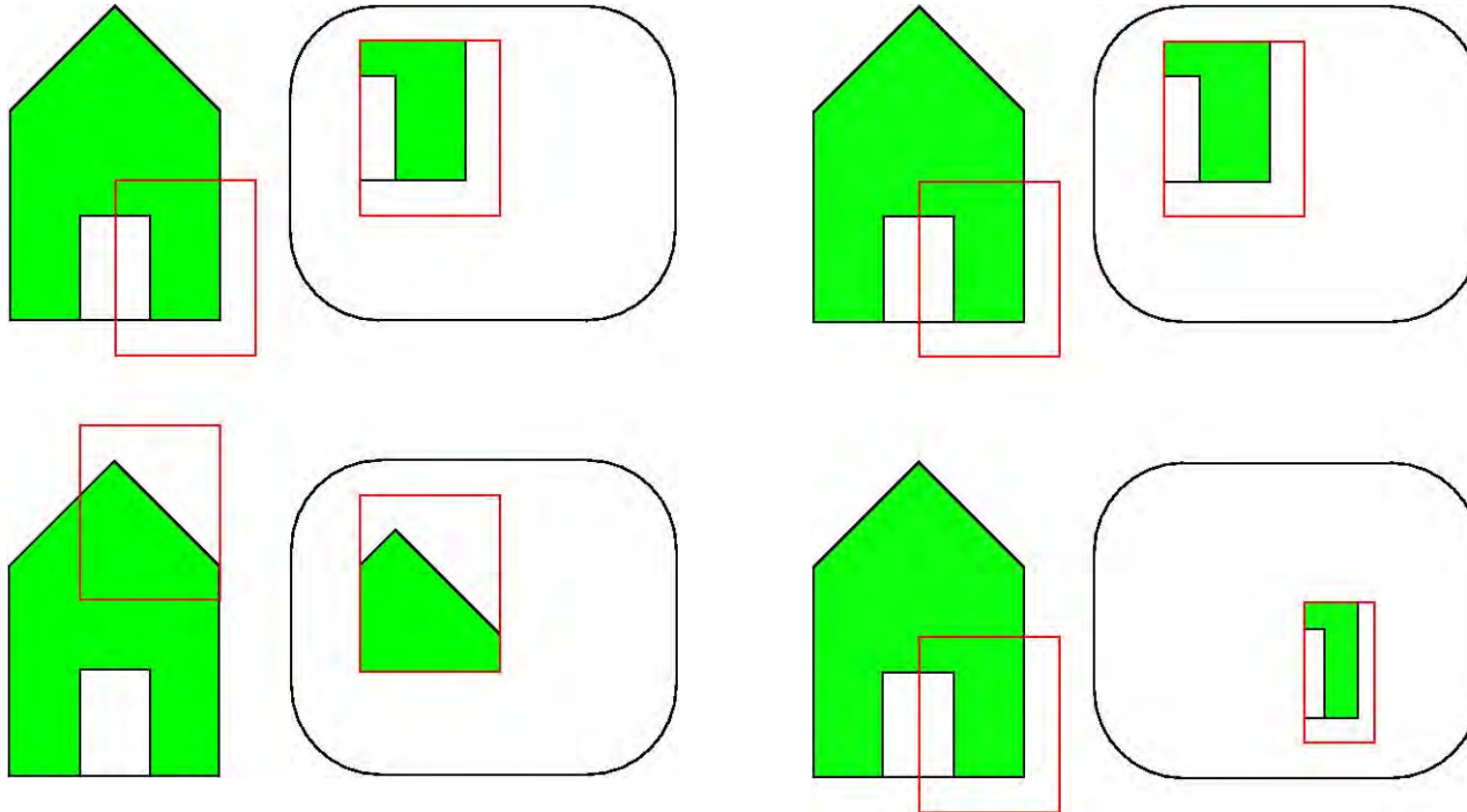
## 3.1 Koordinatentransformationen

---

### 3.1.5 Display Coordinate System / Device Coordinate System

- Definiert das **2D**-Koordinatensystem des Bildschirms (Display) oder Ausgabegerätes (Device).
- Ein **Viewport** definiert einen Bereich des Bildschirms, in dem der Inhalt eines Windows dargestellt werden soll.
- Window-Viewport-Transformationen (**Windowing**) sind 2D-2D-Transformationen.

## 3.1 Koordinatentransformationen

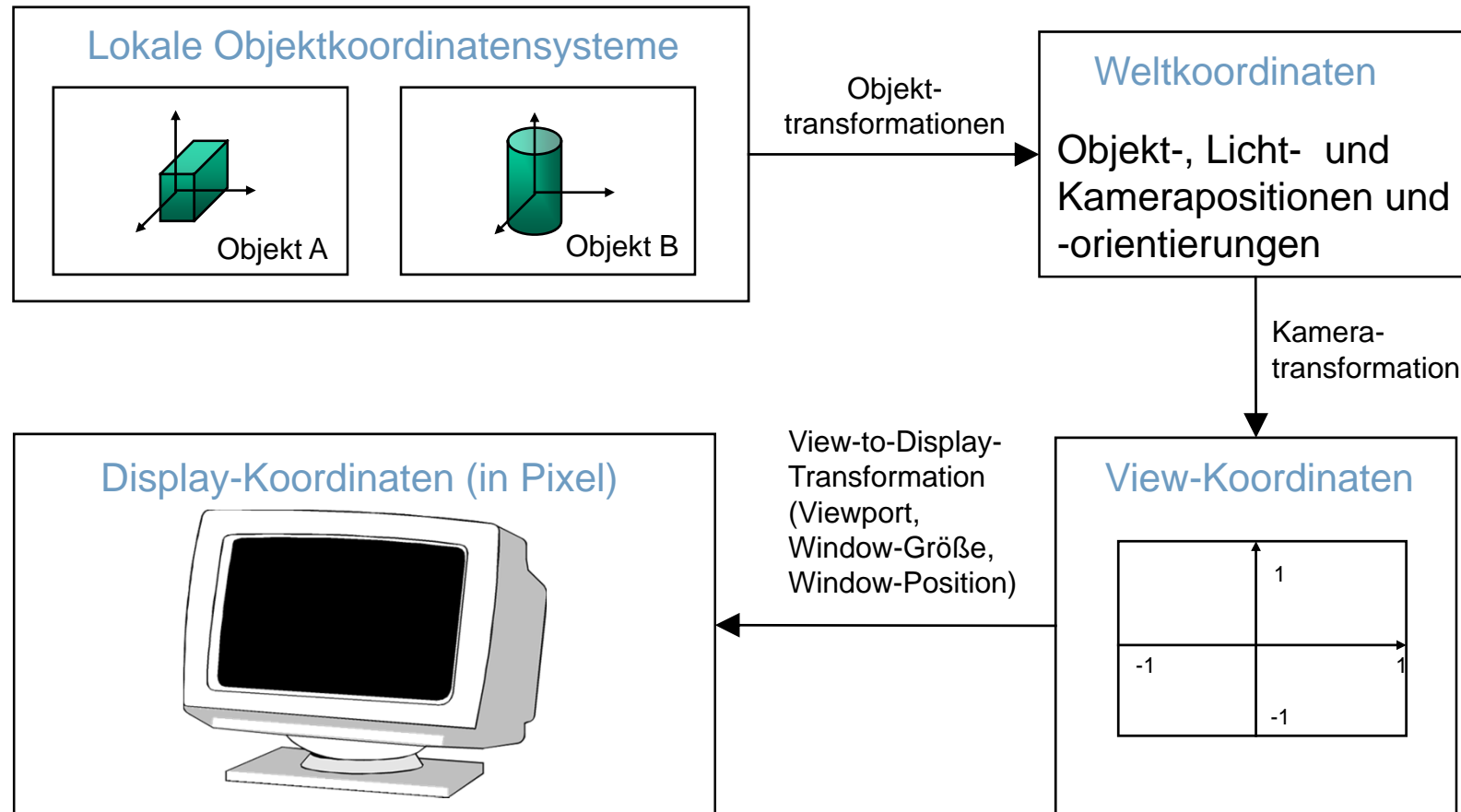


Verschiedene Fenster, dieselben Viewports

Dieselben Fenster, verschiedene Viewports

## 3.1 Koordinatentransformationen

Überblick / Zusammenspiel:



## 3.1 Koordinatentransformationen

---

- Generell wird ein
  - orthonormiertes: paarweise senkrechte und normierte Basisvektoren,
  - kartesisches: orthonormal + Rechtssystem,Koordinatensystem vorausgesetzt.
- Aber **Vorsicht vor Verwirrungen!**

Für Transformationen existieren mehrere  
**äquivalente Sichtweisen!**

## 3.1 Koordinatentransformationen

### 3.1.6 Sichtweisen von Transformationen

#### a) „Transformation der Punkte“

- Koordinatensystem bleibt fest.
- Punkt  $P$  ändert Ort und damit Koordinaten im gleichen System, d.h. Punkttransformation.
- ➔ Im (globalen) Koordinatensystem  $S$  wirkt die Transformation auf die Koordinaten von  $P$ .
- Beteiligte Koordinatensysteme: **eins**.

## 3.1 Koordinatentransformationen

### b) „Transformation des Koordinatensystems“

- Koordinatensystem wird der inversen Transformation der Punkttransformation unterworfen.
- ➔ Koordinatensystem bewegt sich.
- ➔ Punkt bleibt fest, ändert allerdings die Koordinaten, da in neuem System beschrieben.
- Beteiligte Koordinatensysteme: **eigentlich nur eins**  
**(aber: vorher, nachher)**
- ➔ „Transformation zwischen Koordinatensystemen.“
- ➔ Basiswechsel

## 3.1 Koordinatentransformationen

### c) „Transformation mittels Koordinatensystem“

- Ein dem Punkt  $P$  lokales Koordinatensystem  $S$  wird mittels der Punkttransformation im globalen Koordinatensystem  $S'$  bewegt.
- ➔ Lokales Koordinatensystem  $S$  bewegt sich.
- Anschließend wird der Punkt  $P$  (mit „alten“ Koordinaten bzgl.  $S$ ) in bewegtes lokales Koordinatensystem eingetragen.
- ➔ Punkt ändert Ort.
- Beteiligte Koordinatensysteme: **zwei (lokal, global)**.
- Geeignet für Modellierung und Animation.

## 3.1 Koordinatentransformationen

Wir verwenden zunächst parallel die Sichtweisen

„Transformation des Koordinatensystems“ (**Sicht b**) und

„Transformation der Punkte“ (**Sicht a**).

### Gegeben:

- Koordinatensystem  $S'$  (z.B. Weltsystem) gegeben durch  
 $S': (O'; x'_1, x'_2),$  und
- Koordinatensystem  $S$  (z.B. Objektsystem) gegeben durch  
 $S: (O; x_1, x_2).$

### Gesucht:

- Transformation von  $S$  nach  $S'$  (**Sicht b**) bzw.
- Änderung der Punktkoordinaten von System  $S$  nach  $S'$  (**Sicht a**).



## 3.2 Transformationen in der Ebene

### 3.2.1 Translation (Verschiebung)

**Voraussetzung:** Koordinatenachsen sind zueinander jeweils parallel.

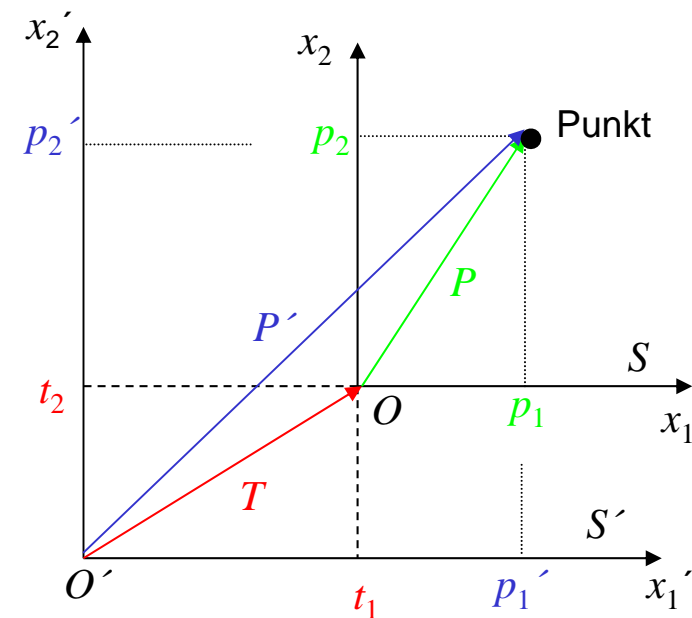
**Sicht b):** Es gilt für das System  $S'$ .

- $S'$  ergibt sich aus  $S$  durch Verschiebung um  $-T$ , wobei  $T = (t_1, t_2)^T$  die Koordinaten des Ursprungs  $O$  von  $S$  im System  $S'$  sind.

- Der Punkt hat also

– in  $S$  die Koordinaten  $P = (p_1, p_2)^T$ ,

– in  $S'$  die Koordinaten  $P' = T + P = (t_1, t_2)^T + (p_1, p_2)^T$ .



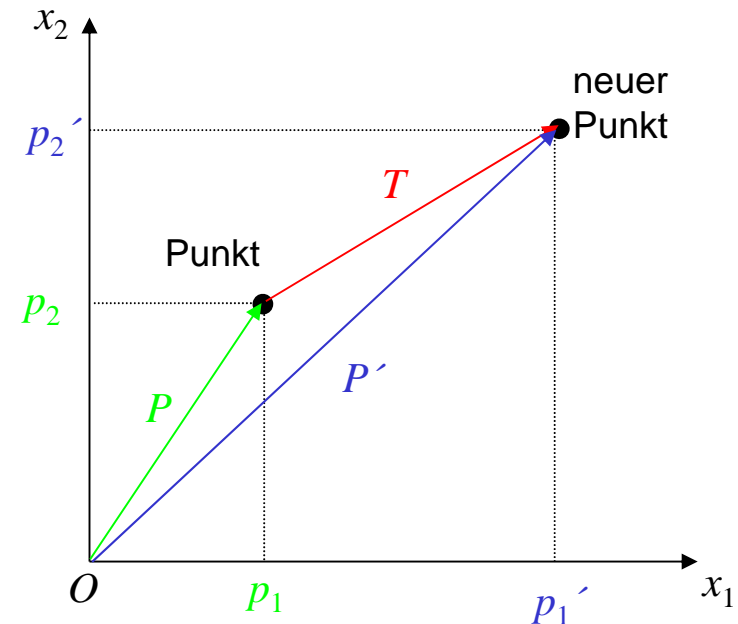
## 3.2 Transformationen in der Ebene

**Sicht a):** Es gilt für den Punkt.

- Punkt mit Koordinaten  $P$  wird um  $T$  verschoben und es entsteht ein neuer Punkt mit Koordinaten  $P'$  mit  $P' = T + P$ .
- Für beide Sichtweisen gilt in Vektor-Schreibweise:

$$\begin{pmatrix} p'_1 \\ p'_2 \end{pmatrix} = \begin{pmatrix} t_1 \\ t_2 \end{pmatrix} + \begin{pmatrix} p_1 \\ p_2 \end{pmatrix}$$

- Oder kurz:  $P' = T + P$ .



## 3.2 Transformationen in der Ebene

### 3.2.2 Rotation (Drehung)

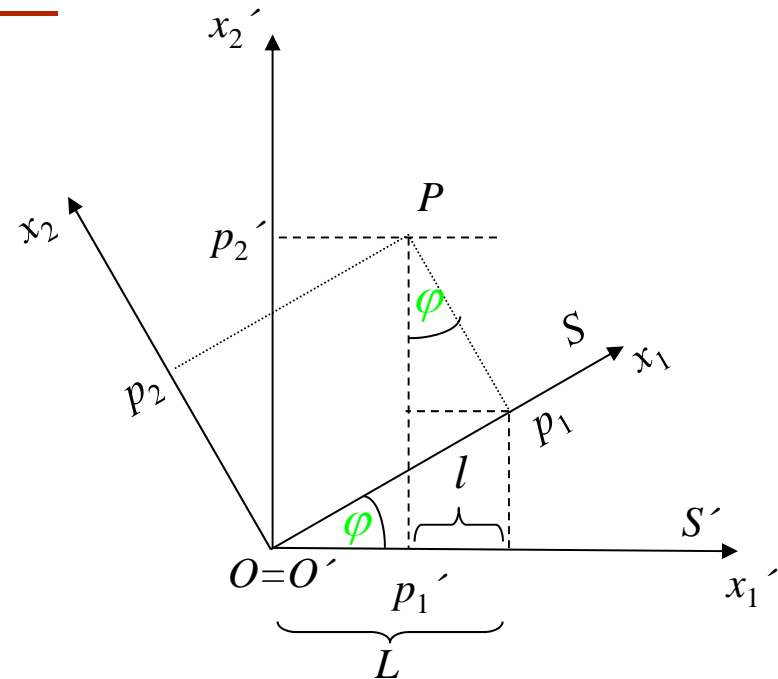
**Voraussetzung:** Koordinatensysteme haben gleichen Ursprung  $O=O'$ .

**Sicht b):** Drehung des Systems  $S$  gegenüber  $S'$  um den Winkel  $\varphi$  um  $O$ :

- Das System  $S'$  ergibt sich aus  $S$  durch Drehung um  $-\varphi$ .
- Es gilt:  $l / p_2 = \sin \varphi$  und  $L / p_1 = \cos \varphi$

also 
$$p_1' = L - l = p_1 \cdot \cos \varphi - p_2 \cdot \sin \varphi$$

analog 
$$p_2' = p_1 \cdot \sin \varphi + p_2 \cdot \cos \varphi$$

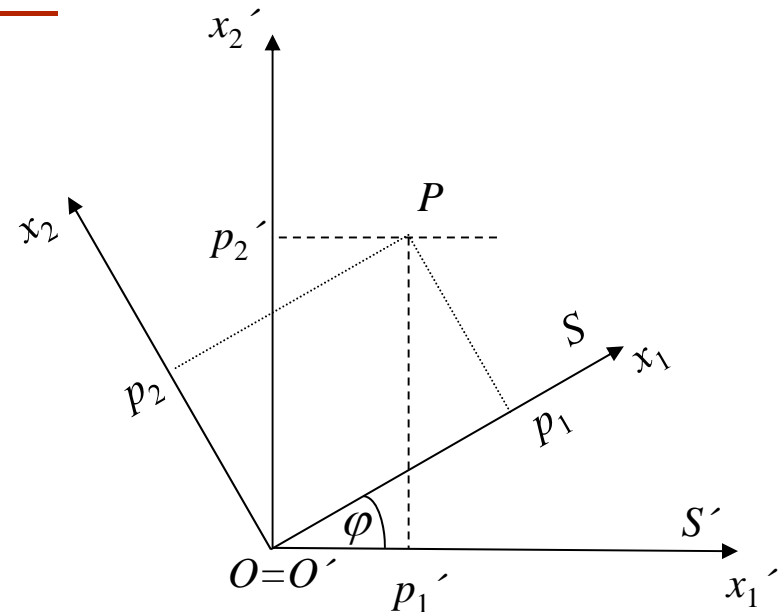


## 3.2 Transformationen in der Ebene

- Kurz:

$$P' = \begin{pmatrix} p_1' \\ p_2' \end{pmatrix} = \begin{pmatrix} p_1 \cdot \cos \varphi - p_2 \cdot \sin \varphi \\ p_1 \cdot \sin \varphi + p_2 \cdot \cos \varphi \end{pmatrix}$$

$$= \begin{pmatrix} \cos \varphi & -\sin \varphi \\ \sin \varphi & \cos \varphi \end{pmatrix} \cdot \begin{pmatrix} p_1 \\ p_2 \end{pmatrix}$$



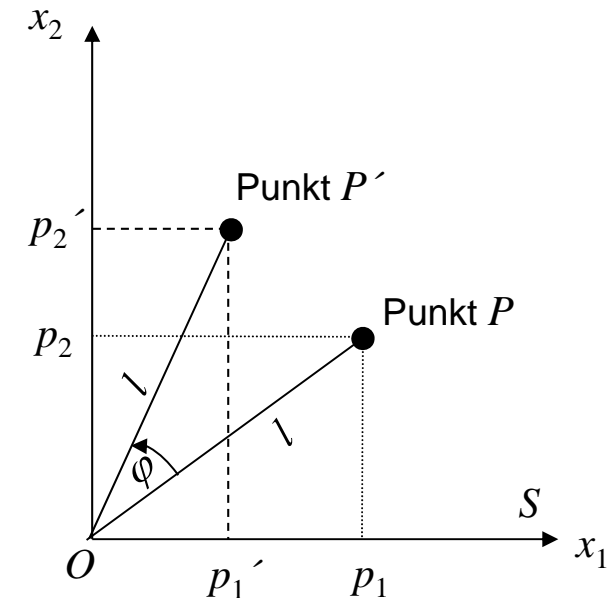
- In Vektor-Matrix-Schreibweise:  $P' = R(\varphi) \cdot P$ ,  
mit der (orthonormalen) Rotationsmatrix:  $R(\varphi) = \begin{pmatrix} \cos \varphi & -\sin \varphi \\ \sin \varphi & \cos \varphi \end{pmatrix}$

Bem.: orthonormal gdw.  $R^{-1} = R^T$ .

## 3.2 Transformationen in der Ebene

### Sicht a)

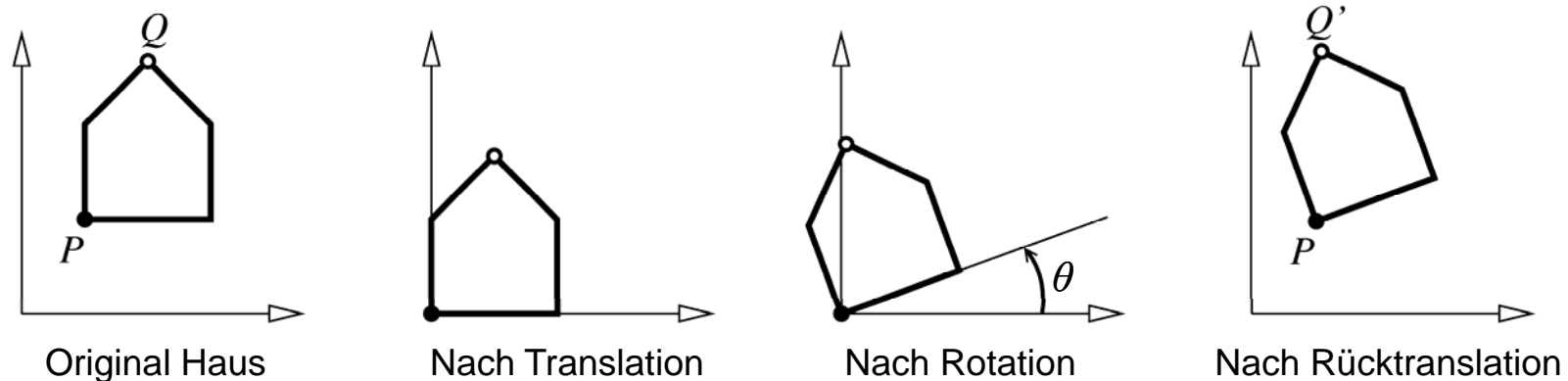
Die Matrix  $R(\varphi)$  dreht Punkte um den Winkel  $\varphi$  in positiver Richtung um den Ursprung  $O$  eines festen Koordinatensystem.



## 3.2 Transformationen in der Ebene

Rotation um einen beliebigen Punkt  $P$ :

- (1) Translation von  $P$  in den Ursprung,
- (2) Rotation um den Ursprung,
- (3) Translation von  $P$  in die ursprüngliche Position.



**Bemerkung:** Die Matrizenmultiplikation ist nicht kommutativ, d.h. die Reihenfolge der Matrizen muss der Reihenfolge der Rotationen entsprechen.

## 3.2 Transformationen in der Ebene

### 3.2.3 Skalierung (Scaling, Größenänderung)

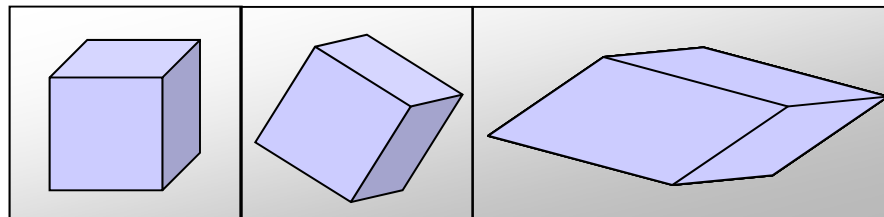
- Soll das System  $S$  „vergrößert“ oder „verkleinert“ werden, so muß eine Skalierung durchgeführt werden:

$$p_1' = \lambda_1 \cdot p_1,$$

$$p_2' = \lambda_2 \cdot p_2.$$

In Vektor-Matrix-Schreibweise:  $P' = S \cdot P$  mit  $S = \begin{pmatrix} \lambda_1 & 0 \\ 0 & \lambda_2 \end{pmatrix}$

- **Vorsicht!** Skalierungen können Längen und Winkel ändern, d.h. Orthogonalität, Orthonormalität, Rechtssystem werden zerstören!



## 3.2 Transformationen in der Ebene

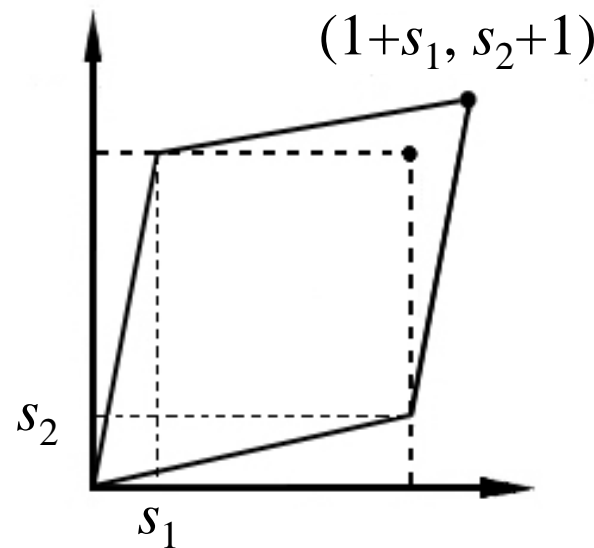
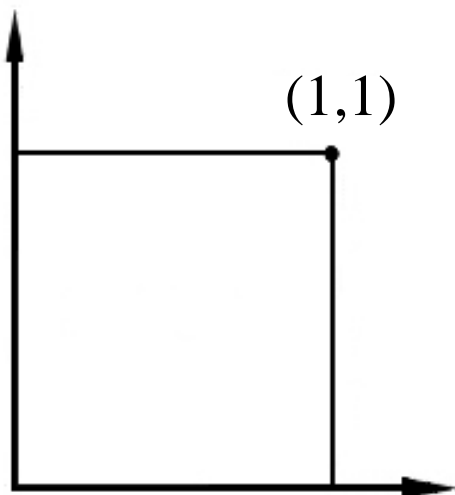
### 3.2.4 Scherung (Shear)

- Eine Scherung ergibt sich, wenn Abhängigkeiten folgender Form bestehen:

$$p_1' = p_1 + s_1 \cdot p_2,$$

$$p_2' = s_2 \cdot p_1 + p_2.$$

- In Vektor-Matrix-Schreibweise:  $P' = S \cdot P$  mit  $S = \begin{pmatrix} 1 & s_1 \\ s_2 & 1 \end{pmatrix}$





## 3.2 Transformationen in der Ebene

### 3.2.5 Affine Transformationen

- Affine Transformationen lassen sich als Kombination einer linearen Abbildung  $A$  und einer Translation  $T$  schreiben:

$$P' = A \cdot P + T.$$

- Die bisher genannten Transformationen (Translation, Rotation, Skalierung, Scherung) sind affine Transformationen.

## 3.2 Transformationen in der Ebene

### Affine Invarianz von Teilungsverhältnissen:

Für eine affine Transformation  $F$  und die Punkte  $P$  und  $Q$  gilt immer:

$$F(\lambda P + (1-\lambda)Q) = \lambda F(P) + (1-\lambda) F(Q) \quad \text{für } 0 \leq \lambda \leq 1.$$

bzw. allgemein für Punkte  $P_i$

$$F\left(\sum_{i=0}^n \alpha_i P_i\right) = \sum_{i=0}^n \alpha_i F(P_i) \quad \text{für} \quad \sum_{i=0}^n \alpha_i = 1.$$

## 3.2 Transformationen in der Ebene

Eigenschaften affiner Abbildungen:

- ➔ Das Bild einer Strecke von  $Q$  nach  $P$  unter einer affinen Abbildung  $F$  ist wieder eine Strecke.
- ➔ Eine affine Abbildung  $F$  ändert Teilverhältnisse  $\lambda : (1 - \lambda)$  nicht.
- ➔ Es genügt Endpunkte  $Q$  und  $P$  einer Strecke abzubilden; Zwischenpunkte erhält man durch Interpolation von  $F(Q)$  und  $F(P)$ .
- ➔ Unter affinen Abbildungen bleiben parallele Linien parallel.

## 3.2 Transformationen in der Ebene

Weitere affine Transformationen:

- Reflexion an der Gerade  $y=x$ :  $A = \begin{pmatrix} 0 & 1 \\ 1 & 0 \end{pmatrix}$
- Reflexion an der Gerade  $y = -x$ :  $A = \begin{pmatrix} 0 & -1 \\ -1 & 0 \end{pmatrix}$
- Reflexion an der  $x$ -Achse:  $A = \begin{pmatrix} -1 & 0 \\ 0 & 1 \end{pmatrix}$
- Reflexion an der  $y$ -Achse:  $A = \begin{pmatrix} 1 & 0 \\ 0 & -1 \end{pmatrix}$
- Reflexion am Ursprung:  $A = \begin{pmatrix} -1 & 0 \\ 0 & -1 \end{pmatrix}$

## 3.2 Transformationen in der Ebene

### 3.2.6 Homogene Koordinaten

- Die Hintereinanderschaltung von Rotation, Translation und Skalierung führt auf die Abbildungsgleichung

$$P' = S \cdot (T + R \cdot P).$$

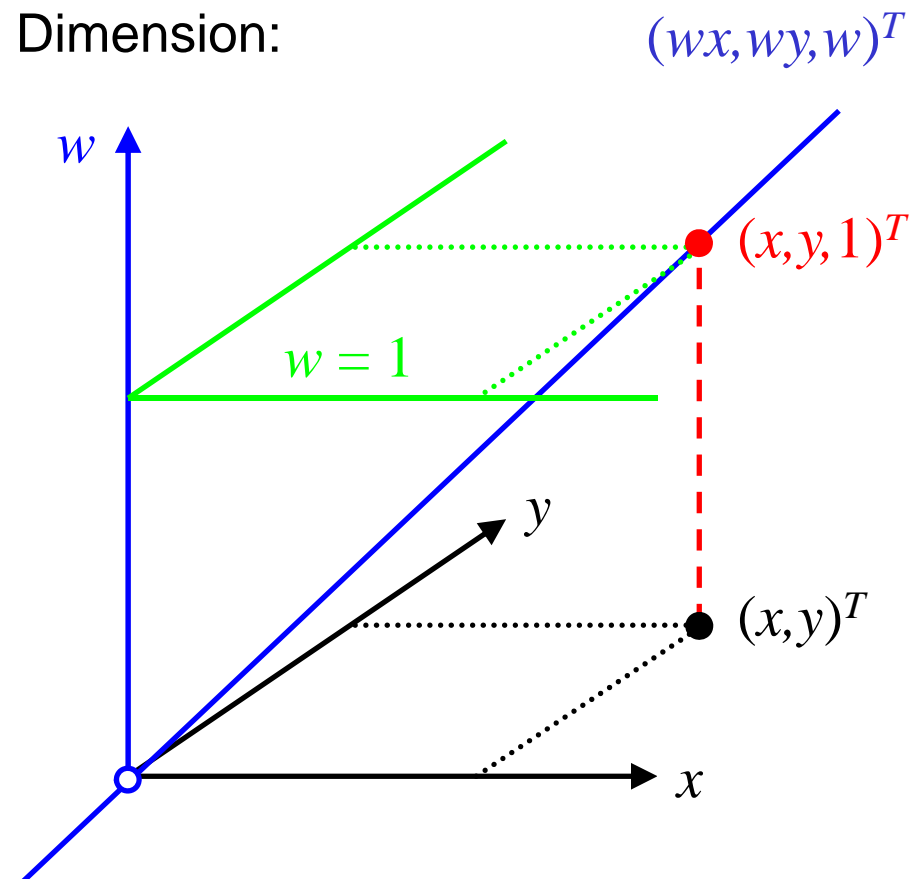
- Müssen jedoch mehrere solcher Transformationen hintereinander ausgeführt werden, so stört die Addition in der obigen Gleichung.
- Da heutige Grafik-Hardware insbesondere auch Matrixmultiplikationen unterstützt, ist es günstig Transformationen ausschließlich mittels Matrixmultiplikationen auszuführen

$$P' = M_n \cdot \dots \cdot M_3 \cdot M_2 \cdot M_1 \cdot P.$$

## 3.2 Transformationen in der Ebene

Übergang auf die nächst höhere Dimension:

- ➔ Das Tripel  $(wx, wy, w)^T$ ,  $w \neq 0$ , stellt die homogenen Koordinaten des Punktes  $(x, y)^T \in \mathbb{R}^2$  dar.
- ➔ Es gibt unendlich viele solcher Darstellungen desselben Punktes.
- ➔ Verwende die so genannte Standarddarstellung  $w = 1$ .
- ➔ Also besitzt ein Punkt  $P = (x, y)^T \in \mathbb{R}^2$  die homogenen Koordinaten  $(x, y, 1)^T$ .



■ Für Punkt im  $\mathbb{R}^3$  gilt Analoges.

## 3.2 Transformationen in der Ebene

Darstellung affiner Transformationen in homogenen Koordinaten:

- **Translation** des Punktes  $(x, y)^T$  um den Vektor  $(t_1, t_2)^T$ :

$$\begin{pmatrix} 1 & 0 & t_1 \\ 0 & 1 & t_2 \\ 0 & 0 & 1 \end{pmatrix} \cdot \begin{pmatrix} x \\ y \\ 1 \end{pmatrix} = \begin{pmatrix} x + t_1 \\ y + t_2 \\ 1 \end{pmatrix} = \begin{pmatrix} x' \\ y' \\ 1 \end{pmatrix}$$

- **Rotation** des Punktes  $(x, y)^T$  um den Winkel  $\varphi$  um den Ursprung:

$$\begin{pmatrix} \cos \varphi & -\sin \varphi & 0 \\ \sin \varphi & \cos \varphi & 0 \\ 0 & 0 & 1 \end{pmatrix} \cdot \begin{pmatrix} x \\ y \\ 1 \end{pmatrix} = \begin{pmatrix} x \cdot \cos \varphi - y \cdot \sin \varphi \\ x \cdot \sin \varphi + y \cdot \cos \varphi \\ 1 \end{pmatrix} = \begin{pmatrix} x' \\ y' \\ 1 \end{pmatrix}$$

## 3.2 Transformationen in der Ebene

- **Skalierung** des Punktes  $(x, y)^T$  mit den Faktoren  $\lambda_1$  und  $\lambda_2$ :

$$\begin{pmatrix} \lambda_1 & 0 & 0 \\ 0 & \lambda_2 & 0 \\ 0 & 0 & 1 \end{pmatrix} \cdot \begin{pmatrix} x \\ y \\ 1 \end{pmatrix} = \begin{pmatrix} \lambda_1 \cdot x \\ \lambda_2 \cdot y \\ 1 \end{pmatrix} = \begin{pmatrix} x' \\ y' \\ 1 \end{pmatrix}$$

- **Rotation** des Punktes  $(x, y)^T$  **um einen Punkt**  $P = (p_x, p_y)^T$  **um** den Winkel  $\varphi$ :

$$\begin{pmatrix} 1 & 0 & p_x \\ 0 & 1 & p_y \\ 0 & 0 & 1 \end{pmatrix} \cdot \begin{pmatrix} \cos \varphi & -\sin \varphi & 0 \\ \sin \varphi & \cos \varphi & 0 \\ 0 & 0 & 1 \end{pmatrix} \cdot \begin{pmatrix} 1 & 0 & -p_x \\ 0 & 1 & -p_y \\ 0 & 0 & 1 \end{pmatrix} \cdot \begin{pmatrix} x \\ y \\ 1 \end{pmatrix} = \begin{pmatrix} x' \\ y' \\ 1 \end{pmatrix}$$



## 3.3 Transformationen im Raum

### 3.3.1 Translation

Die Verschiebung eines Punktes  $(x, y, z)^T$  um den Translationsvektor  $(t_x, t_y, t_z)^T$  ergibt den Punkt  $(x', y', z')^T$  mit

$$\underbrace{\begin{pmatrix} 1 & 0 & 0 & t_x \\ 0 & 1 & 0 & t_y \\ 0 & 0 & 1 & t_z \\ 0 & 0 & 0 & 1 \end{pmatrix}}_{= T(t_x, t_y, t_z)} \cdot \begin{pmatrix} x \\ y \\ z \\ 1 \end{pmatrix} = \begin{pmatrix} x + t_x \\ y + t_y \\ z + t_z \\ 1 \end{pmatrix} = \begin{pmatrix} x' \\ y' \\ z' \\ 1 \end{pmatrix}$$

## 3.3 Transformationen im Raum

### 3.3.2 Skalierung

Eine Skalierung mit den Faktoren  $\lambda_1$ ,  $\lambda_2$  und  $\lambda_3$  in den drei Achsenrichtungen hat die Form:

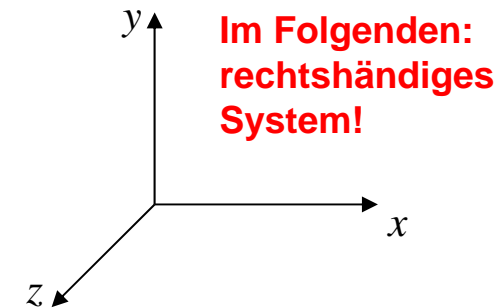
$$\begin{pmatrix} \lambda_1 & 0 & 0 & 0 \\ 0 & \lambda_2 & 0 & 0 \\ 0 & 0 & \lambda_3 & 0 \\ 0 & 0 & 0 & 1 \end{pmatrix} \cdot \begin{pmatrix} x \\ y \\ z \\ 1 \end{pmatrix} = \begin{pmatrix} \lambda_1 \cdot x \\ \lambda_2 \cdot y \\ \lambda_3 \cdot z \\ 1 \end{pmatrix} = \begin{pmatrix} x' \\ y' \\ z' \\ 1 \end{pmatrix}$$

## 3.3 Transformationen im Raum

### 3.3.3 Rotation

- Alle Rotationen erfolgen im mathematisch positiven Sinn (d.h. gegen den Uhrzeigersinn).
- Der Betrachter „sitzt“ dabei auf der Rotationsachse und schaut in Richtung Ursprung des Koordinatensystems.
- Wir betrachten zuerst die Rotationen um die einzelnen Koordinatenachsen um den Winkel  $\varphi$ .
- ➔ Transformationsmatrizen  $R_x(\varphi)$ ,  $R_y(\varphi)$ ,  $R_z(\varphi)$ .
- Wir verwenden die **Sicht a)**:

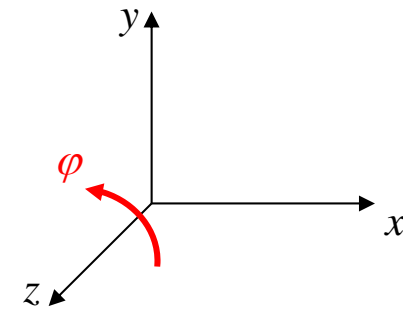
„globales festes Koordinatensystem;  
Punkt wird transformiert (gedreht)“



## 3.3 Transformationen im Raum

### Rotation um die $z$ -Achse

Die Rotation eines Punktes  $(x, y, z)^T$  um die  $z$ -Achse um den Winkel  $\varphi$  ergibt den Punkt  $(x', y', z')^T$  mit



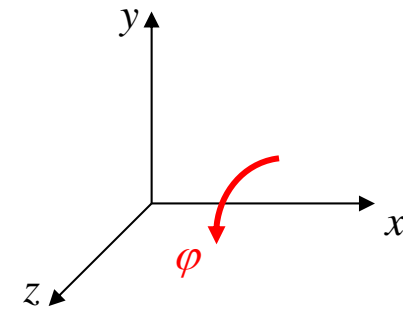
$$\underbrace{\begin{pmatrix} \cos \varphi & -\sin \varphi & 0 & 0 \\ \sin \varphi & \cos \varphi & 0 & 0 \\ 0 & 0 & 1 & 0 \\ 0 & 0 & 0 & 1 \end{pmatrix}}_{= R_z(\varphi)} \cdot \begin{pmatrix} x \\ y \\ z \\ 1 \end{pmatrix} = \begin{pmatrix} x \cdot \cos \varphi - y \cdot \sin \varphi \\ x \cdot \sin \varphi + y \cdot \cos \varphi \\ z \\ 1 \end{pmatrix} = \begin{pmatrix} x' \\ y' \\ z' \\ 1 \end{pmatrix}$$

Beachte: Drehung um den Winkel  $\varphi$  um die  $z$ -Achse entspricht dem 2D-Fall, wobei die  $z$ -Koordinate konstant bleibt!

## 3.3 Transformationen im Raum

### Rotation um die $x$ -Achse

Die Rotation eines Punktes  $(x, y, z)^T$  um die  $x$ -Achse um den Winkel  $\varphi$  ergibt den Punkt  $(x', y', z')^T$  mit



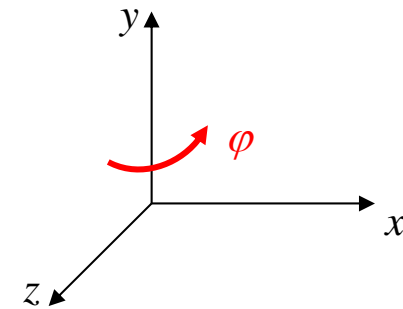
$$\underbrace{\begin{pmatrix} 1 & 0 & 0 & 0 \\ 0 & \cos \varphi & -\sin \varphi & 0 \\ 0 & \sin \varphi & \cos \varphi & 0 \\ 0 & 0 & 0 & 1 \end{pmatrix}}_{= R_x(\varphi)} \cdot \begin{pmatrix} x \\ y \\ z \\ 1 \end{pmatrix} = \begin{pmatrix} x \\ y \cdot \cos \varphi - z \cdot \sin \varphi \\ y \cdot \sin \varphi + z \cdot \cos \varphi \\ 1 \end{pmatrix} = \begin{pmatrix} x' \\ y' \\ z' \\ 1 \end{pmatrix}$$

Beachte: Drehung um den Winkel  $\varphi$  um die  $x$ -Achse entspricht dem 2D-Fall, wobei die  $x$ -Koordinate konstant bleibt!

## 3.3 Transformationen im Raum

### Rotation um die y-Achse

Die Rotation eines Punktes  $(x, y, z)^T$  um die y-Achse um den Winkel  $\varphi$  ergibt den Punkt  $(x', y', z')^T$  mit



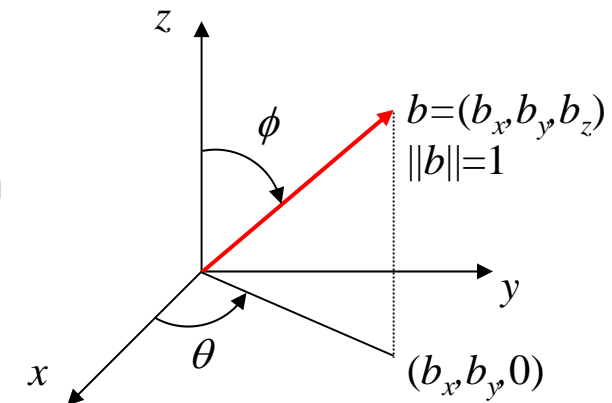
$$\underbrace{\begin{pmatrix} \cos \varphi & 0 & \sin \varphi & 0 \\ 0 & 1 & 0 & 0 \\ -\sin \varphi & 0 & \cos \varphi & 0 \\ 0 & 0 & 0 & 1 \end{pmatrix}}_{= R_y(\varphi)} \cdot \begin{pmatrix} x \\ y \\ z \\ 1 \end{pmatrix} = \begin{pmatrix} x \cdot \cos \varphi + z \cdot \sin \varphi \\ y \\ -x \cdot \sin \varphi + z \cdot \cos \varphi \\ 1 \end{pmatrix} = \begin{pmatrix} x' \\ y' \\ z' \\ 1 \end{pmatrix}$$

Beachte: Drehung um den Winkel  $\varphi$  um die y-Achse entspricht dem 2D-Fall, wobei die y-Koordinate konstant bleibt!

## 3.3 Transformationen im Raum

### Rotation um eine beliebige Achse

- Jede Rotation um eine beliebige Achse kann aus **drei** Rotationen um die einzelnen Koordinatenachsen zusammengesetzt werden ( $\rightarrow$  Euler).
- **Ziel:** Rotation  $R_G(\alpha)$  eines Punktes  $P$  um eine beliebig orientierte Achse  $G$  im Raum um einen Winkel  $\alpha$ .
- **Zunächst Sonderfall:** Drehachse  $G$  geht durch den Ursprung und wird von einem Vektor  $b = (b_x, b_y, b_z)^T$  mit  $\|b\|=1$  generiert:



$$b_x = \sin \phi \cos \theta$$

$$b_y = \sin \phi \sin \theta$$

$$b_z = \cos \phi$$

$$G = \{ \lambda \cdot b : \lambda \in \mathbb{R} \}.$$

## 3.3 Transformationen im Raum

**Gesucht:** Koordinaten eines Punktes  $P$  nach einer Drehung um die Achse  $G$  um den Winkel  $\alpha$ .

■ Vorgehensweise:

- Der Punkt  $P$  wird so transformiert, dass die Drehachse mit der  $z$ -Achse zusammenfällt.
- Anschließend wird für die Drehung um  $\alpha$  die Rotationsmatrix  $R_z(\alpha)$  verwendet.
- Hinterher werden die „Hilfstransformationen“ wieder rückgängig gemacht.
- Ist  $G$  mit der  $z$ -Achse identisch, entfallen die Hilfstransformationen.



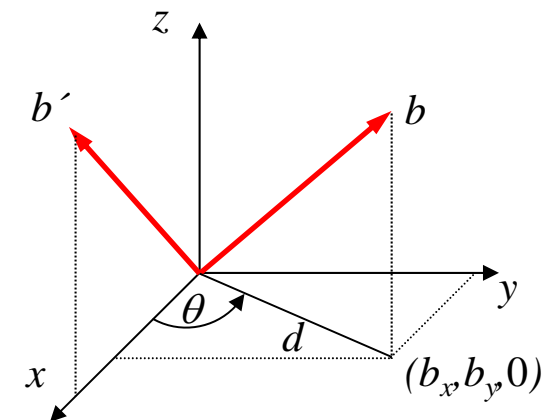
## 3.3 Transformationen im Raum

### Schritt 1:

- Drehe den Vektor  $b$  in die  $(z,x)$ -Ebene:  $b \rightarrow b'$ .
- $P$  wird auf  $P'$  mit  $P' = R_z(-\theta) P$  abgebildet, mit

$$R_z(-\theta) = \begin{pmatrix} \cos \theta & \sin \theta & 0 & 0 \\ -\sin \theta & \cos \theta & 0 & 0 \\ 0 & 0 & 1 & 0 \\ 0 & 0 & 0 & 1 \end{pmatrix}$$

$$= \frac{1}{d} \begin{pmatrix} b_x & b_y & 0 & 0 \\ -b_y & b_x & 0 & 0 \\ 0 & 0 & d & 0 \\ 0 & 0 & 0 & d \end{pmatrix}$$



$$d^2 = b_x^2 + b_y^2$$

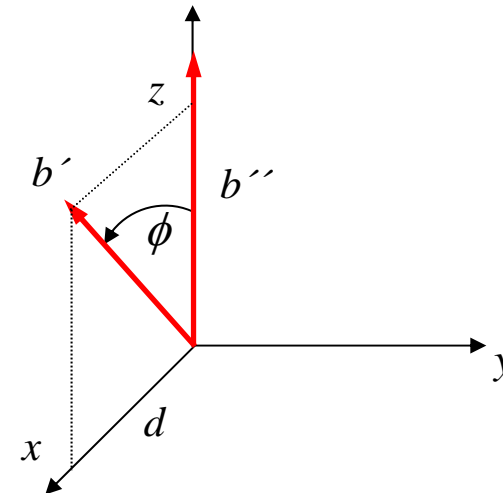
## 3.3 Transformationen im Raum

### Schritt 2:

- Drehe den Vektor  $b'$  auf die  $z$ -Achse:  $b' \rightarrow b''$ .
- $P'$  wird auf  $P''$  mit  $P'' = R_y(-\phi) P'$  abgebildet, mit

$$R_y(-\phi) = \begin{pmatrix} \cos \phi & 0 & -\sin \phi & 0 \\ 0 & 1 & 0 & 0 \\ \sin \phi & 0 & \cos \phi & 0 \\ 0 & 0 & 0 & 1 \end{pmatrix}$$

$$= \begin{pmatrix} b_z & 0 & -d & 0 \\ 0 & 1 & 0 & 0 \\ d & 0 & b_z & 0 \\ 0 & 0 & 0 & 1 \end{pmatrix}$$

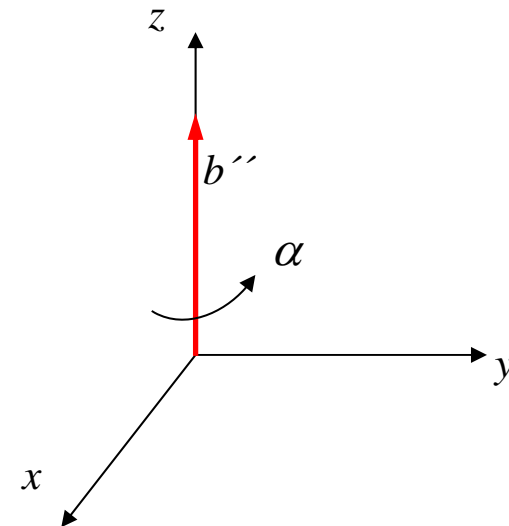


## 3.3 Transformationen im Raum

### Schritt 3:

- Drehe um den Winkel  $\alpha$  um die  $z$ -Achse.
- $P''$  wird auf  $P'''$  mit  $P''' = R_z(\alpha) P''$  abgebildet, mit

$$R_z(\alpha) = \begin{pmatrix} \cos \alpha & -\sin \alpha & 0 & 0 \\ \sin \alpha & \cos \alpha & 0 & 0 \\ 0 & 0 & 1 & 0 \\ 0 & 0 & 0 & 1 \end{pmatrix}$$



### 3.3 Transformationen im Raum

#### Schritte 4 und 5:

- Die Rotationen aus den Schritten 1 und 2 werden in umgekehrter Reihenfolge rückgängig gemacht.
- $P'''$  wird auf den gewünschten gedrehten Punkt  $Q$  des ursprünglichen Punktes  $P$  mittels  $Q = R_z(\theta) R_y(\phi) P'''$  abgebildet, mit

$$R_y(\phi) = \begin{pmatrix} b_z & 0 & d & 0 \\ 0 & 1 & 0 & 0 \\ -d & 0 & b_z & 0 \\ 0 & 0 & 0 & 1 \end{pmatrix} \quad R_z(\theta) = \frac{1}{d} \begin{pmatrix} b_x & -b_y & 0 & 0 \\ b_y & b_x & 0 & 0 \\ 0 & 0 & d & 0 \\ 0 & 0 & 0 & d \end{pmatrix}$$

### 3.3 Transformationen im Raum

#### Ergebnis:

Die Gesamttransformation läßt sich in einem Schritt durch die Verknüpfung aller Transformationen realisieren

$$M_b(\alpha) = R_z(\theta) R_y(\phi) R_z(\alpha) R_y(-\phi) R_z(-\theta).$$

#### Allgemeiner Fall:

Ist die Drehachse eine allgemeine Gerade

$$G = \{ a + \lambda \cdot b : \lambda \in \mathbb{R}, a=(a_x, a_y, a_z)^T, \|b\|=1 \} ,$$

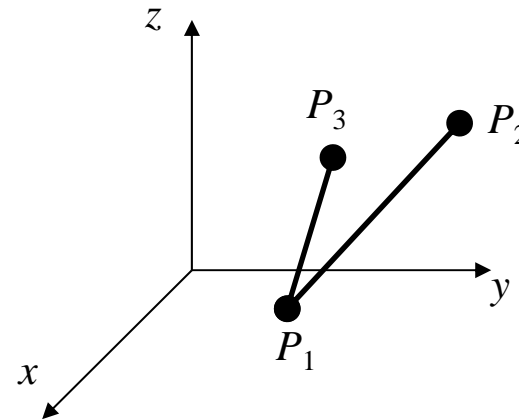
so ist vor Schritt 1 und nach Schritt 5 eine entsprechende Translation einzuschieben, also

$$M_b(\alpha) = T(a_x, a_y, a_z) R_z(\theta) R_y(\phi) R_z(\alpha) R_y(-\phi) R_z(-\theta) T(-a_x, -a_y, -a_z).$$

## 3.3 Transformationen im Raum

### 3.3.4 Transformation von Koordinatensystemen (Orientierung)

- Zur Definition eines Koordinatensystems im 3D genügen drei (nicht-kollineare) Punkte  $P_1, P_2, P_3$ .
- Wie berechnet man die Transformationsmatrix, die
  - $P_1$  in den Ursprung,
  - $P_1P_2$  auf die  $z$ -Achse und
  - $P_2P_3$  in die  $(y,z)$ -Ebene mit positiver  $y$ -Koordinateabbildet?



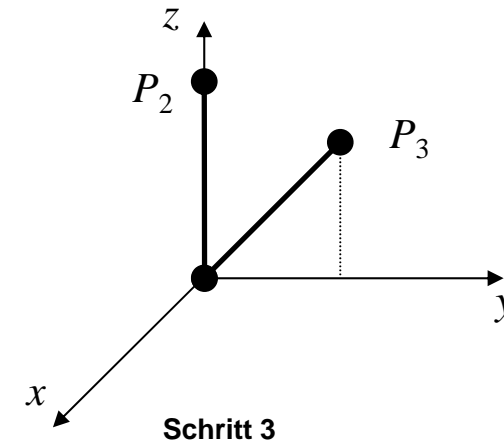
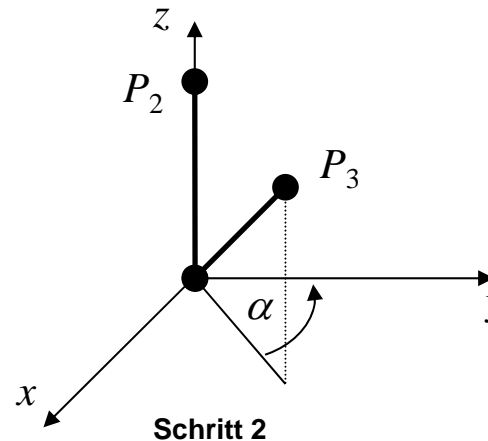
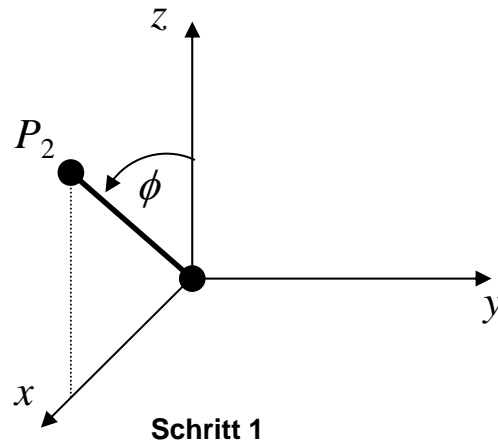
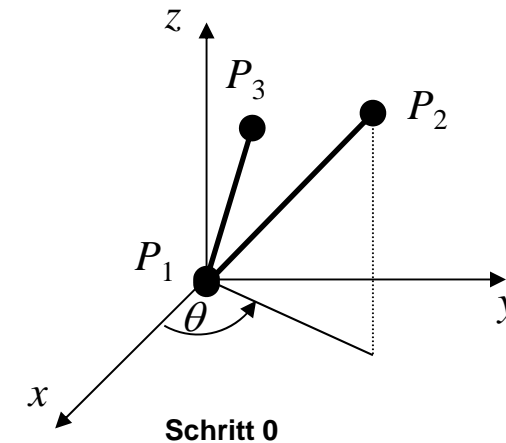
## 3.3 Transformationen im Raum

**Schritt 0:** Translation mit  $T(-P_1)$ .

**Schritt 1:** Rotation mit  $R_z(-\theta)$ .

**Schritt 2:** Rotation mit  $R_y(-\phi)$ .

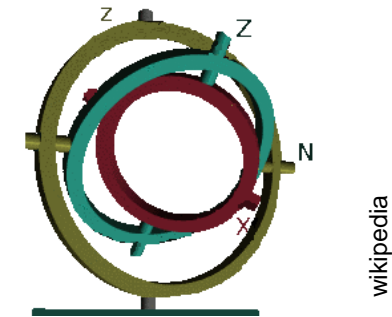
**Schritt 3:** Rotation mit  $R_z(\alpha)$ .



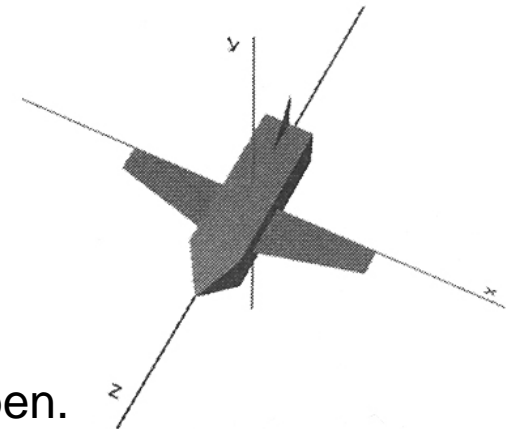
## 3.3 Transformationen im Raum

**Achtung:** Sind  $P_1P_2$  und die  $z$ -Achse parallel, sind die Winkel  $\theta$  und  $\alpha$  nicht wohldefiniert.

- In diesem Fall ist nur  $\theta + \alpha$  wohldefiniert.
- Dieser Effekt ist eine Ausprägung des sog. **Gimbal-Lock** (gimbal = Kardanaufhängung):



- Er ist bei einer anderen Rotationsreihenfolge (pilotview) ausgeprägter:
  - $x$ -Rotation um Neigungswinkel (pitch)  $\varphi_x$ ,
  - $y$ -Rotation um Gierungswinkel (yaw)  $\varphi_y$ ,
  - $z$ -Rotation um Rollwinkel (roll)  $\varphi_z$ .
- Die Orientierung eines Koordinatensystem wird dann durch das Tripel  $(\varphi_x, \varphi_y, \varphi_z)$  beschrieben.

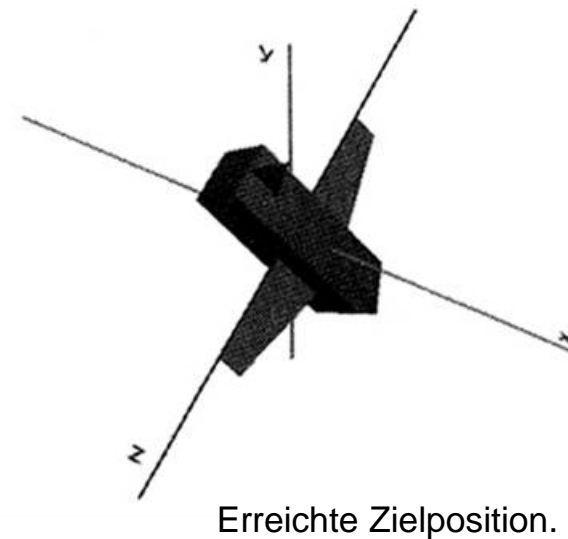
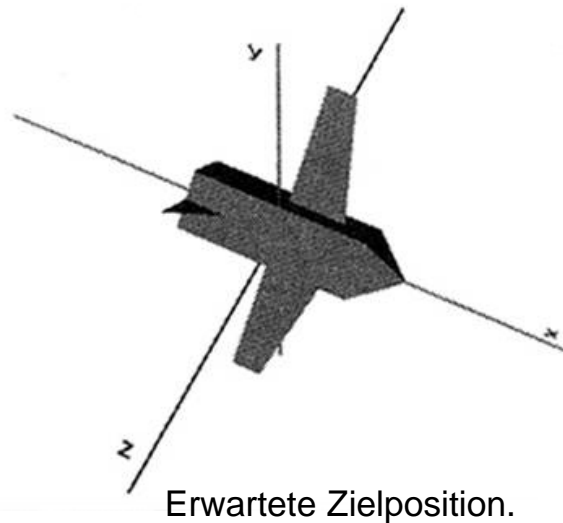


Bender/Brill



## 3.3 Transformationen im Raum

- Eine Änderung der Orientierung von  $(0^\circ, 0^\circ, 0^\circ)$  nach  $(0^\circ, 90^\circ, 45^\circ)$  liefert nicht das gewünschte Ergebnis:
  - Nach der Drehung um die  $y$ -Achse ist die dritte Rotationsachse auf die  $x$ -Achse gedreht.



Bender/Brill

- Ein Freiheitsgrad geht verloren!

### 3.3 Transformationen im Raum

Die zusammengesetzte Transformationsmatrix hat die Form

$$R_z(\alpha) \cdot R_y(-\phi) \cdot R_z(-\theta) \cdot T(-P_1) = \begin{pmatrix} R & -P_1 \\ 0 & 1 \end{pmatrix}$$

mit einer orthonormalen  $3 \times 3$  Matrix  $R$ .

- Die Zeilen  $R_1, R_2, R_3$  von  $R$  bilden eine Orthonormalbasis

$$R \cdot R_1^T = (1,0,0)^T,$$

$$R \cdot R_2^T = (0,1,0)^T,$$

$$R \cdot R_3^T = (0,0,1)^T,$$

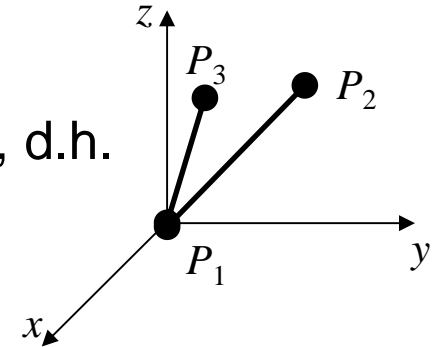
d.h. sie werden durch  $R$  auf die Achsen des Koordinatensystems  $(x,y,z)$  abgebildet.

### 3.3 Transformationen im Raum

Daraus lassen sich die Zeilen von  $R$  bestimmen:

**Zeile 3:**  $P_1P_2$  wird durch  $R$  auf die  $z$ -Achse abgebildet, d.h.

$$R_3^T = (P_2 - P_1) / \|P_2 - P_1\|.$$



**Zeile 1:** Der (normierte) Normalenvektor der Ebene  $P_1P_2P_3$  wird durch  $R$  auf die positive  $x$ -Achse abgebildet, d.h.

$$R_1^T = (P_3 - P_1) \times (P_2 - P_1) / \|(P_3 - P_1) \times (P_2 - P_1)\|.$$

**Zeile 2:** Die zweite Zeile ist orthonormal zu  $R_1$ ,  $R_3$ , d.h.

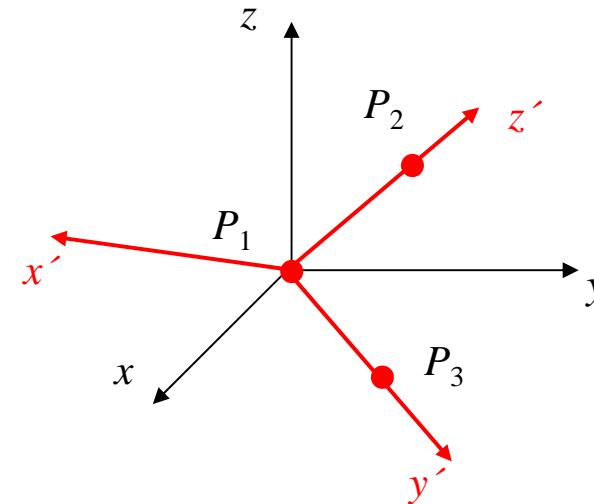
$$R_2^T = R_3^T \times R_1^T.$$

### 3.3 Transformationen im Raum

**Sonderfall:** Ist das von  $P_1, P_2, P_3$  aufgespannte Koordinatensystem kartesisch, ist  $R$  gegeben durch

$$R = \begin{pmatrix} x'^T \\ y'^T \\ z'^T \end{pmatrix}$$

in Koordinaten bzgl. dem Koordinatensystem  $(x, y, z)$ .



## 3.3 Transformationen im Raum

### 3.3.5 Quaternionen

- Vermeidung des Gimbal-Locks bei Euler-Winkeln.
- Interpolation von Rotationen bei der Animation.

**Idee:** Koordinatensystemfreie Beschreibung einer Rotation!

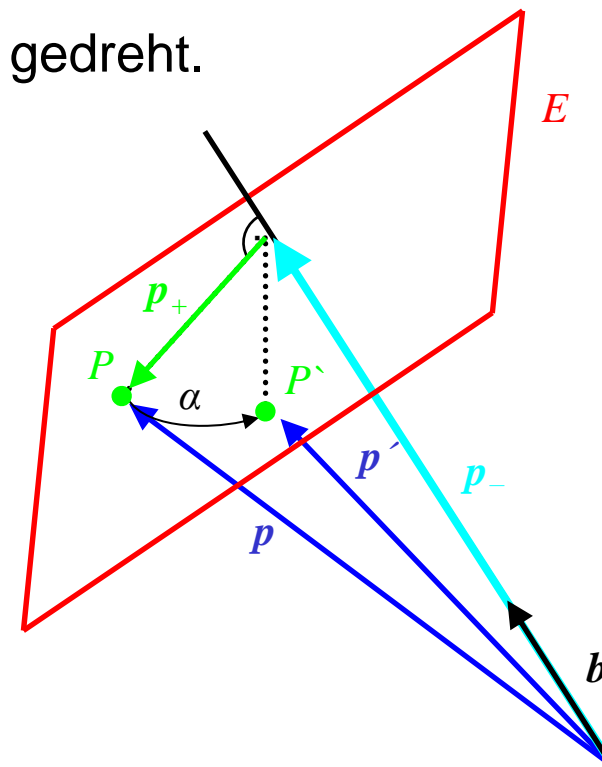
- Drehachse  $G$  geht durch den Ursprung und wird von einem Vektor  $\mathbf{b} = (b_x, b_y, b_z)^T$  mit  $\|\mathbf{b}\| = 1$  generiert:

$$G = \{ \lambda \cdot \mathbf{b} : \lambda \in \mathbb{R} \}.$$

- Drehe einen Punkt  $P$  um die orientierte Achse  $G$  im Raum um einen Winkel  $\alpha$ .

### 3.3 Transformationen im Raum

- Wähle Ebene  $E$  durch  $P$  senkrecht zu  $b$ .
- ➔  $P$  wird in der Ebene  $E$  auf  $P'$  gedreht.
- ➔ Der Vektor  $p$  wird auf den Vektor  $p'$  gedreht.
- ➔ Diese Rotation hat einen Anteil
  - $p_- = b (p \cdot b)$  parallel und
  - $p_+ = p - b (p \cdot b)$  senkrecht zur Ebenennormale  $b$ .



### 3.3 Transformationen im Raum

- In der Ebene  $E$  wird  $p_+$  auf

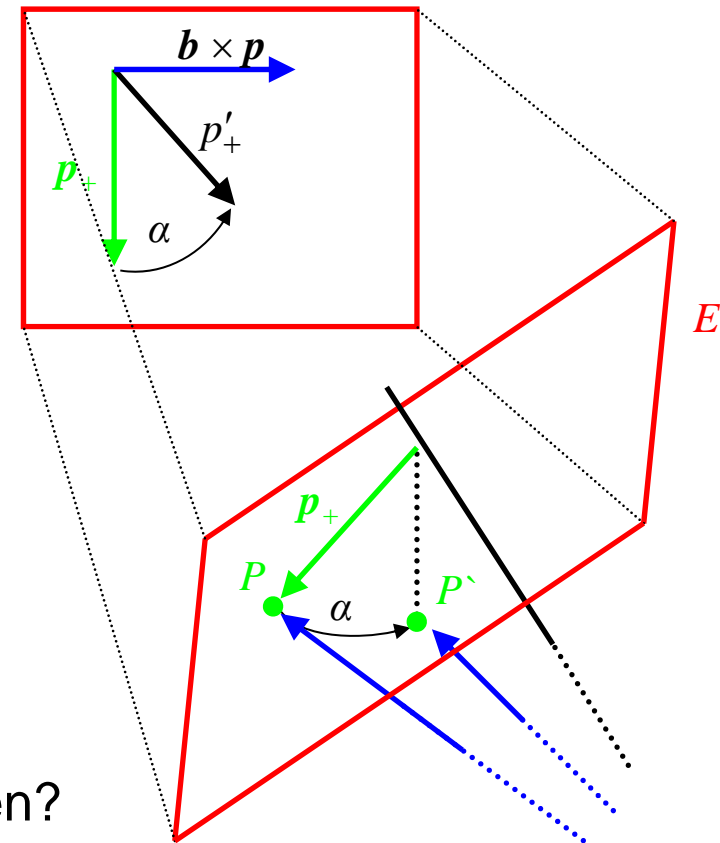
$$p'_+ = \cos \alpha \cdot p_+ + \sin \alpha \cdot b \times p$$

gedreht.

- Die gesamte Rotation wird also beschrieben durch

$$\begin{aligned} p' = & \cos \alpha \cdot p \\ & + (1 - \cos \alpha) \cdot b \cdot (b \cdot p) \\ & + \sin \alpha \cdot b \times p. \end{aligned}$$

- Wie lässt sich das elegant formulieren?



## 3.3 Transformationen im Raum

... mit Quaternionen:

### Definition

Ein **Quaternion**  $q$  ist gegeben durch vier reelle Zahlen  $(s, a, b, c)$  und

$$q = s + a \cdot i + b \cdot j + c \cdot k \quad \text{mit} \quad i^2 = j^2 = k^2 = -1.$$

Für die **imaginären Einheiten**  $i, j, k$  gilt darüber hinaus

$$i \cdot j = -j \cdot i = k; \quad j \cdot k = -k \cdot j = i; \quad k \cdot i = -i \cdot k = j.$$



### 3.3 Transformationen im Raum

Addition und Multiplikation sind definiert als

$$\begin{aligned}(s_1, a_1, b_1, c_1) + (s_2, a_2, b_2, c_2) &= (s_1 + s_2, a_1 + a_2, b_1 + b_2, c_1 + c_2) \\ &= s_1 + s_2 + (a_1 + a_2)\mathbf{i} + (b_1 + b_2)\mathbf{j} + (c_1 + c_2)\mathbf{k},\end{aligned}$$

$$\begin{aligned}(s_1, a_1, b_1, c_1) \cdot (s_2, a_2, b_2, c_2) &= s_1 s_2 - a_1 a_2 - b_1 b_2 - c_1 c_2 \\ &\quad + (s_1 a_2 + s_2 a_1 + b_1 c_2 - b_2 c_1) \mathbf{i} \\ &\quad + (s_1 b_2 + s_2 b_1 + c_1 a_2 - c_2 a_1) \mathbf{j} \\ &\quad + (s_1 c_2 + s_2 c_1 + a_1 b_2 - a_2 b_1) \mathbf{k}\end{aligned}$$

Ein Quaternion  $q$  kann auch geschrieben werden als  $q = (s, \mathbf{x})$  mit  $s \in \mathbb{R}$  und  $\mathbf{x} \in \mathbb{R}^3$ . Dann gilt:

$$(s_1, \mathbf{x}_1) \cdot (s_2, \mathbf{x}_2) = (s_1 s_2 - \mathbf{x}_1 \cdot \mathbf{x}_2, s_1 \mathbf{x}_2 + s_2 \mathbf{x}_1 + \mathbf{x}_1 \times \mathbf{x}_2).$$

### 3.3 Transformationen im Raum

- Auf Grund der Multiplikation für Quaternionen gibt es auch eine Norm für Quaternionen:

$$(q \cdot q')^{1/2} = \|q\| = (s^2 + \|\mathbf{x}\|^2)^{1/2} \quad \text{mit} \quad q' = (s, -\mathbf{x}).$$

Dabei heißt  $q'$  das **konjugierte Quaternion**.

→ Für ein **normiertes Quaternion**  $q$ , d.h.  $\|q\| = 1$ , ist das konjugierte Quaternion das Inverse  $q^{-1}$ , d.h.  $q \cdot q' = (1, 0, 0, 0)$ .

#### Theorem

Jedes normierte Quaternion  $q$  kann geschrieben werden als

$$q = (\cos(\theta/2), \sin(\theta/2) \mathbf{n})$$

für ein  $\theta \in [0, \pi]$  und  $\mathbf{n} \in \mathbb{R}^3$  mit  $\|\mathbf{n}\| = 1$ .

### 3.3 Transformationen im Raum

- Identifiziert man den Vektor  $\mathbf{p}$  von Seite §3-54 mit dem Quaternion  $p = (0, \mathbf{p})$ , liefert Multiplikation mit einem normierten Quaternion  $q$  von links und dem konjugierten Quaternion  $q'$  von rechts:

$$\begin{aligned} q \cdot p \cdot q' &= (\cos(\theta/2), \sin(\theta/2) \mathbf{n}) \cdot (0, \mathbf{p}) \cdot (\cos(\theta/2), -\sin(\theta/2) \mathbf{n}) \\ &= (0, \cos\theta \cdot \mathbf{p} + (1-\cos\theta) \cdot \mathbf{n} \cdot (\mathbf{n} \cdot \mathbf{p}) + \sin\theta \cdot \mathbf{n} \times \mathbf{p}). \end{aligned}$$

- Das ist exakt die selbe Formel wie auf Seite §3-55 für  $\mathbf{p}'$  mit  $\mathbf{b}=\mathbf{n}$  und  $\alpha = \theta$ .
- Die Multiplikation eines Quaternions mit einem normierten Quaternion  $q$  von links und mit dem konjugierten Quaternion  $q'$  von rechts ist eine Rotation um die Achse  $\mathbf{n}$  mit den Winkel  $\theta$ .

## 3.3 Transformationen im Raum

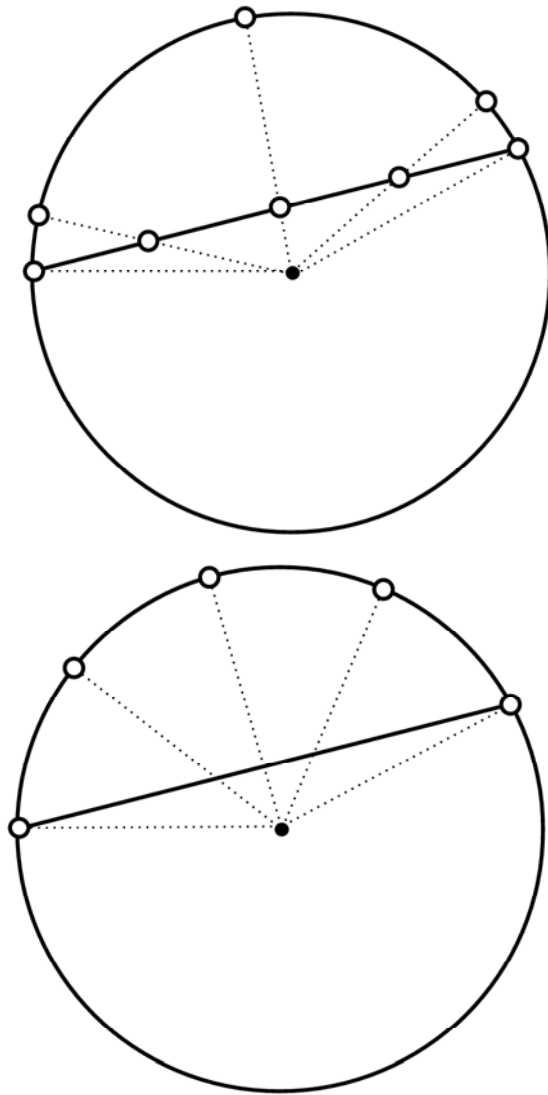
Rotation mit Quaternionen von einem Vektor  $\mathbf{p}$  um die Achse  $\mathbf{n}$  mit dem Winkel  $\theta$ :

1. Bilde das Quaternion  $q = (\cos(\theta/2), \sin(\theta/2) \mathbf{n})$ .
  2. Berechne  $q \cdot (0, \mathbf{p}) \cdot q'$ .
  3. Transformiere das Ergebnis zurück zu einem Vektor im  $\mathbb{R}^3$ .
- Weil das Produkt zweier normierte Quaternionen wieder ein normiertes Quaternion ist, können mehrere Rotationen um verschiedene Achsen durch Multiplikation hintereinander ausgeführt werden.
  - **Achtung:** Die Multiplikation ist nicht kommutativ!

## 3.3 Transformationen im Raum

### Eigenschaften:

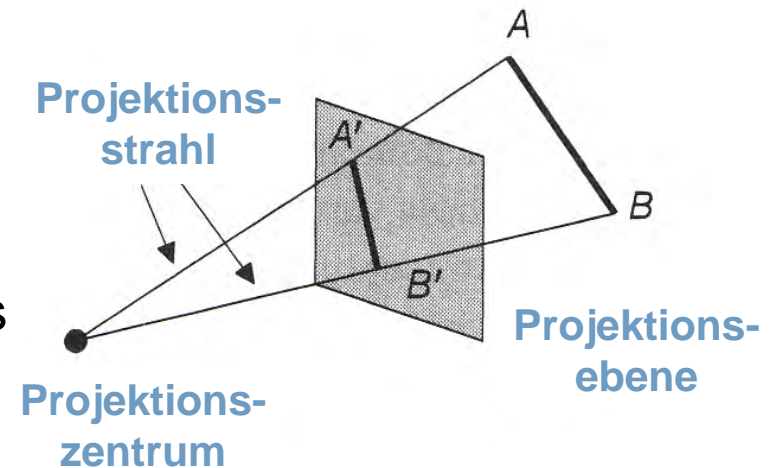
- Die Multiplikation ist nicht kommutativ!
- Es gibt keinen Gimbal-Lock, weil die Reihenfolge von Koordinatenachsen unerheblich ist.
- Interpolation:
  - Lineare Interpolation liefert variierende Winkelgeschwindigkeiten.
  - Spherical Linear interpolation (SLERP) [Shoemaker85].



## 3.4 Projektionen

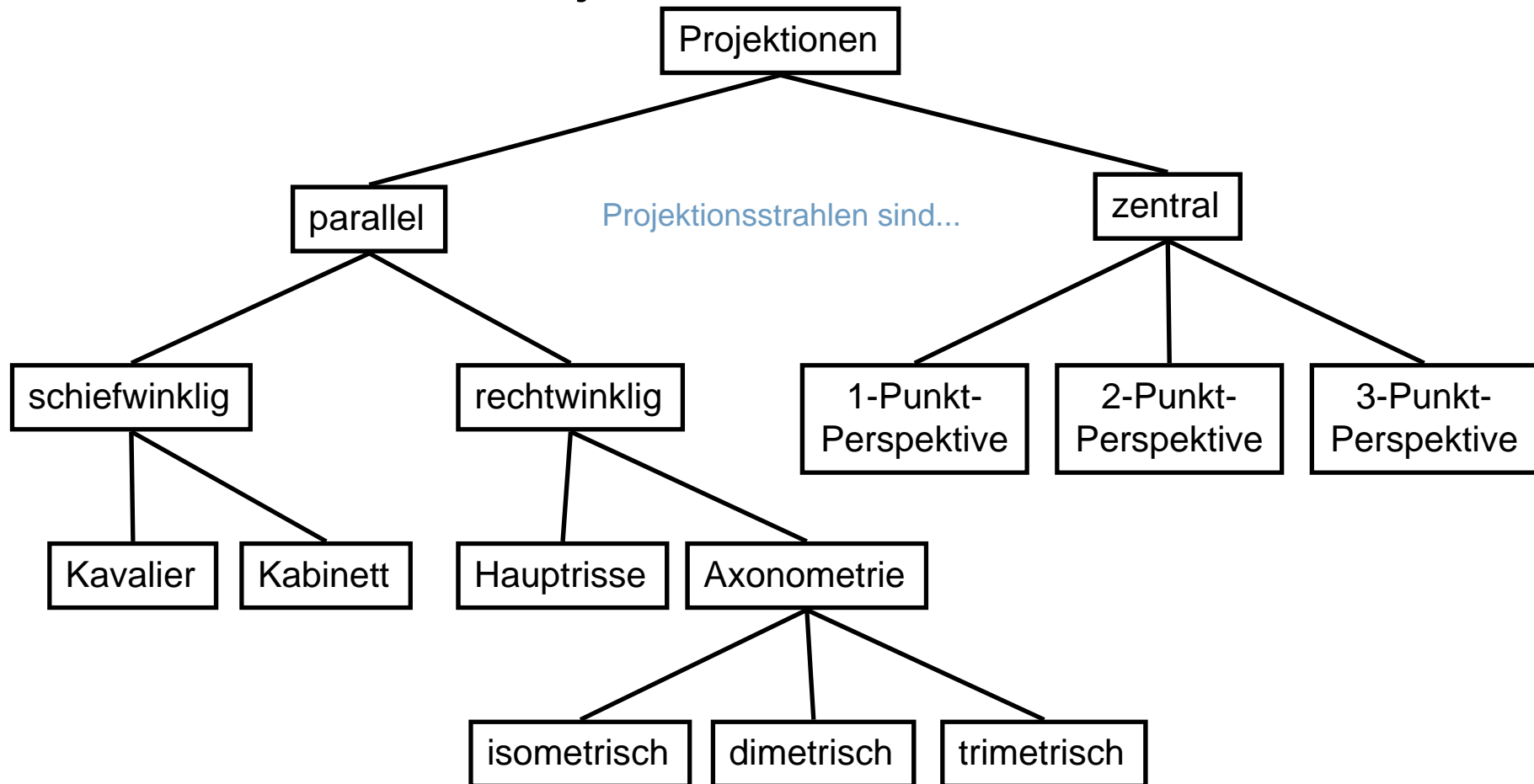
**Definition:** Eine **Projektion** ist eine Abbildung, die einen Raum der Dimension  $n$  auf einen Raum mit einer Dimension  $< n$  abbildet.

- Da ein Bildschirm ein zweidimensionales Ausgabemedium ist, müssen dreidimensionale Objekte in zweidimensionalen Ansichten dargestellt werden.
  - Hierzu wird ein Raumpunkt entlang eines **Projektionsstrahls** (projector) auf eine vorgegebene **Projektionsebene** (projection plane) abgebildet.
- Der Projektionsstrahl wird durch das **Projektionszentrum** und den Raumpunkt  $A$  festgelegt.
- Der Schnittpunkt des Projektionsstrahls mit der Projektionsebene bestimmt den **projizierten Raumpunkt  $A'$** .



## 3.4 Projektionen

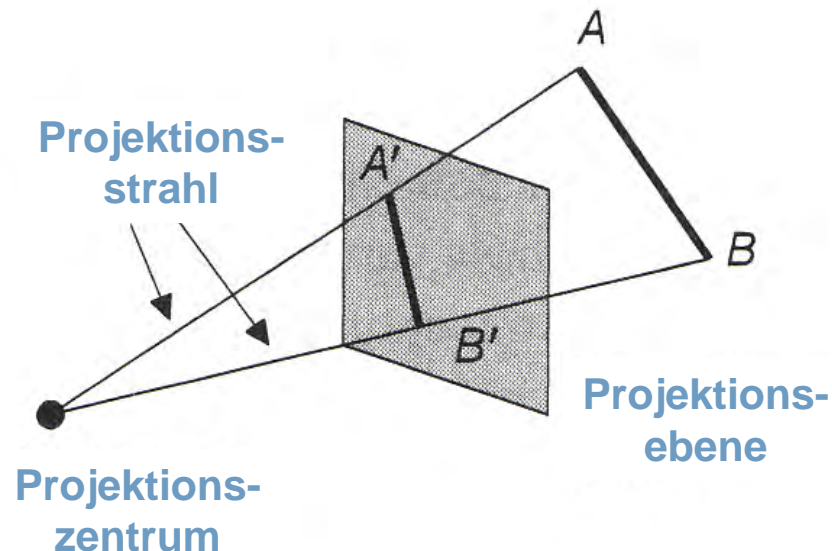
### Klassifikation von Projektionen



## 3.4 Projektionen

### 3.5.1 Perspektivische Projektionen / Zentralprojektion

- Alle **Projektionsstrahlen** gehen durch das **Projektionszentrum**, das mit dem Auge des Beobachters zusammenfällt.
- Das Verfahren erzeugt eine optische Tiefenwirkung und geht in seinen Anfängen bis in die Malerei der Antike zurück.





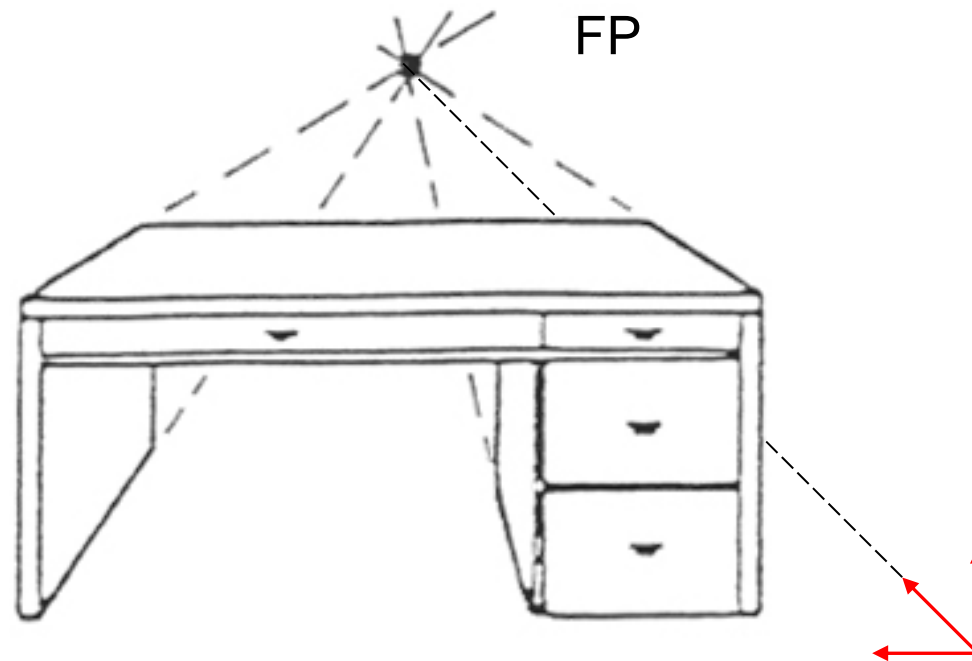
## 3.4 Projektionen

---

- Eigenschaften:
  - Die Bildgeraden je zwei parallele Geraden im Raum, die nicht parallel zur Projektionsebene sind, treffen sich in einem Punkt, dem Fluchtpunkt.
    - Diese Geraden schneiden die Projektionsebene!
  - Es gibt unendlich viele Fluchtpunkte, je einen pro Richtung, die nicht parallel zur Projektionsebene ist.
  - Hervorgehoben werden die Fluchtpunkte der Hauptachsen.
    - Z.B. Geraden, die parallel zur  $x$ -Achse (des Weltsystems) verlaufen, treffen sich im  $x$ -Fluchtpunkt, etc.
- Perspektivische Projektionen werden nach der Anzahl der Hauptachsen, die von der Projektionsebene geschnitten werden, klassifiziert.
  - So entstehen 1-Punkt-, 2-Punkt- und 3-Punkt-Perspektiven.

## 3.4 Projektionen

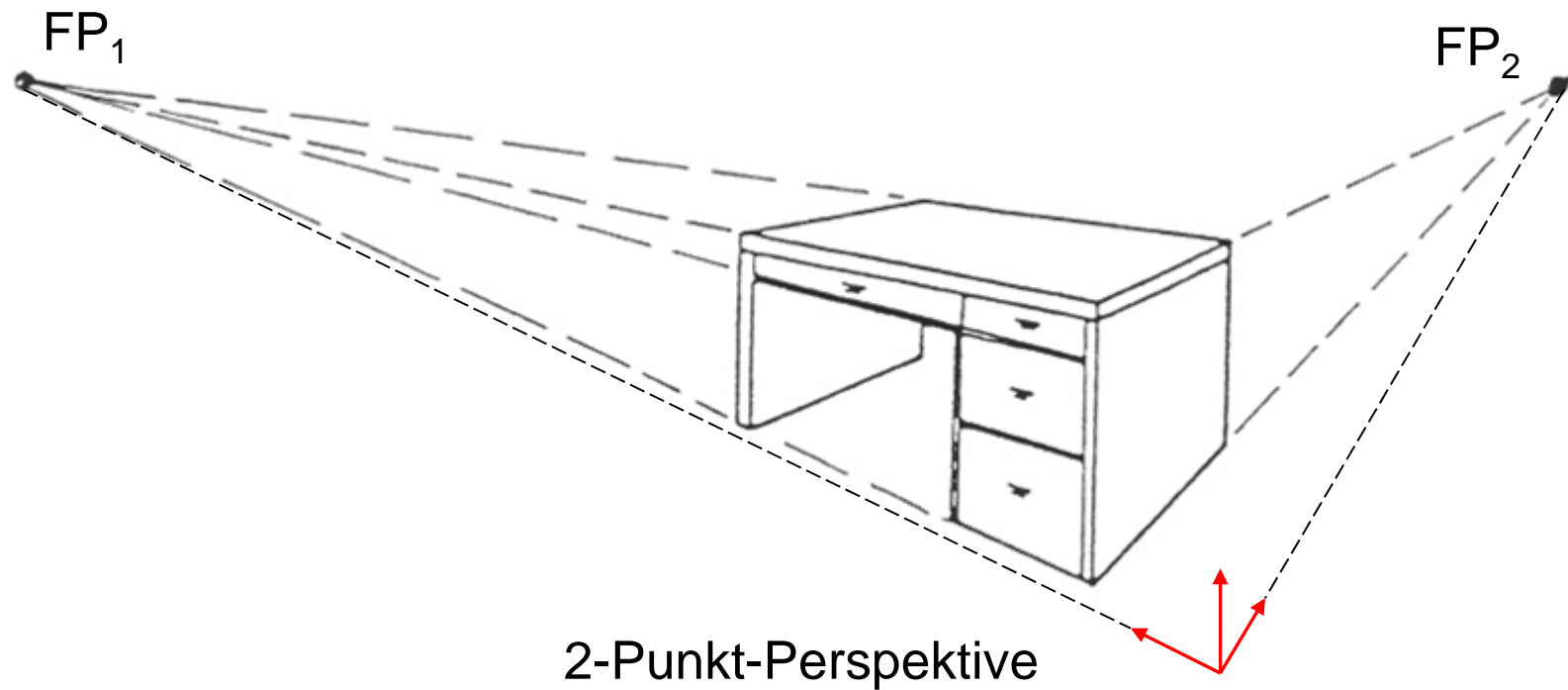
### Beispiel: 1-Punkt-Perspektive



1-Punkt-Perspektive

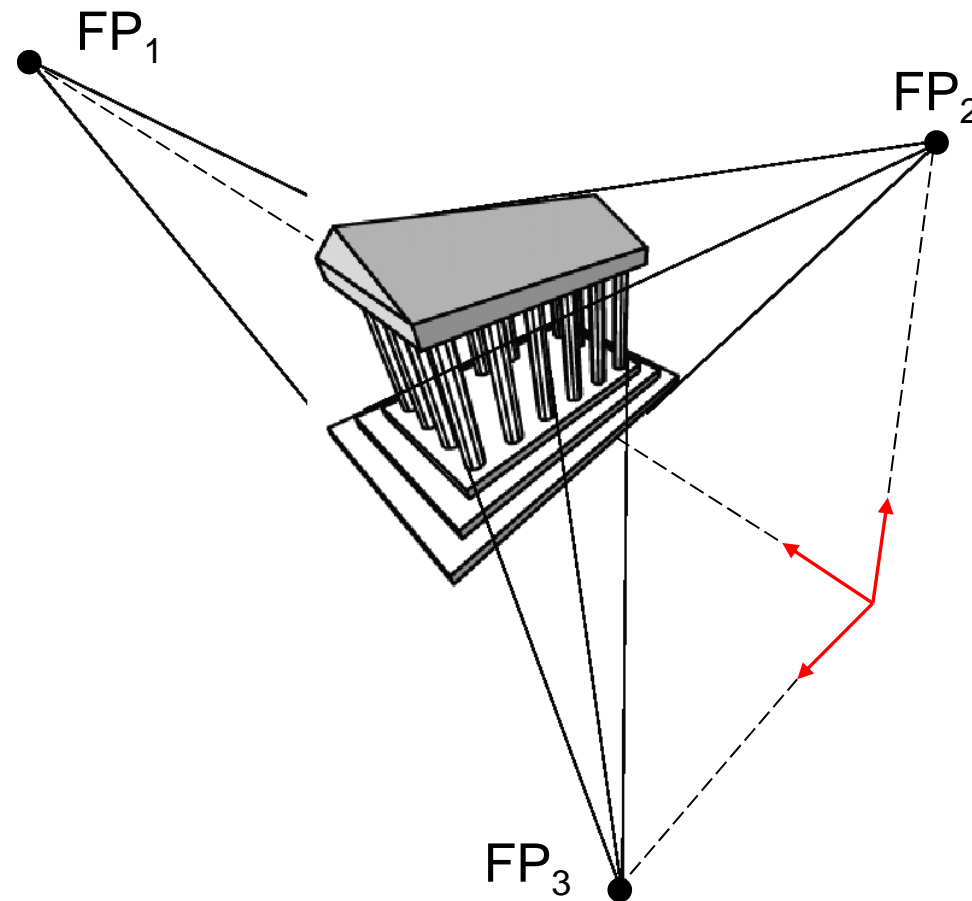
## 3.4 Projektionen

### Beispiel: 2-Punkt-Perspektive



## 3.4 Projektionen

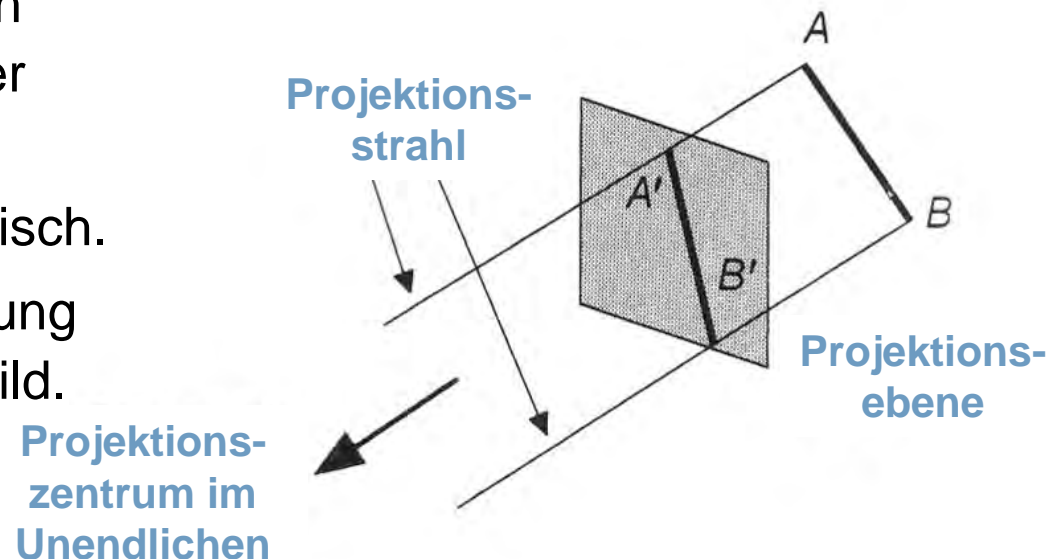
### Beispiel: 3-Punkt-Perspektive



## 3.4 Projektionen

### 3.4.2 Parallelprojektionen

- Alle **Projektionsstrahlen** verlaufen parallel in eine Richtung.
- Das **Projektionszentrum** liegt in einem unendlich fernen Punkt.
- In der projektiven Geometrie stellt die Parallelprojektion somit einen Spezialfall der Zentralprojektion dar.
- **Nachteil:** Weniger realistisch.
- **Vorteil:** Erlaubt Bestimmung exakter Maße aus dem Bild.



## 3.4 Projektionen

---

- Die Projektionsstrahlen können bei Parallelprojektionen gegen die Projektionsebene
  - schief (**schiefwinklige Projektion**) oder
  - senkrecht (**orthographische/rechtwinklige Projektion**) stehen.

### 3.4.3 Rechtwinklige / senkrechte / orthographische Projektion

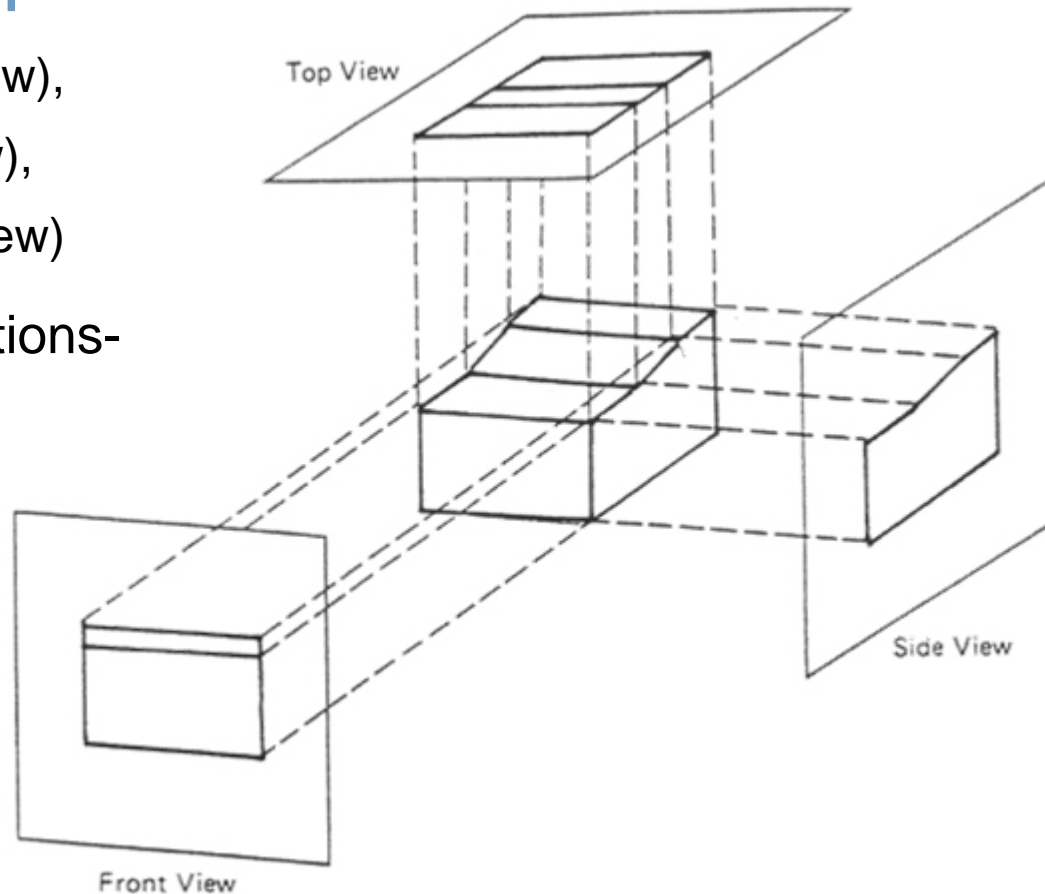
- Die Projektionsrichtung fällt mit der Normalen der Projektionsebene zusammen.
- Man unterscheidet **Haupttrisse** und **Axonometrie**.

## 3.4 Projektionen

- Bei den **Haupttrissen**
  - Grundriss (top view),
  - Aufriss (front view),
  - Kreuzriss (side view)

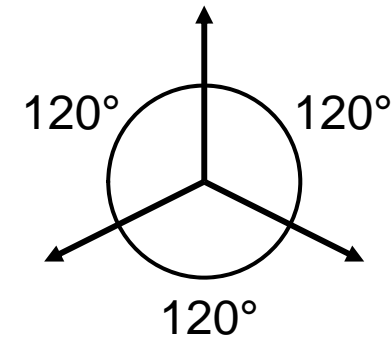
schneidet die Projektionsebene nur eine Hauptachse.

- Die Normale der Projektionsebene ist also parallel zu einer der Hauptachsen.



## 3.4 Projektionen

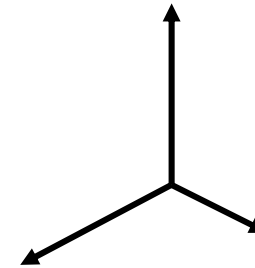
- Bei der **Axonometrie** ist die Projektionsebene nicht orthogonal zu einer der Koordinatenachsen (des Weltsystems).
  - Parallele Linien werden auf parallele Linien abgebildet.
  - Winkel bleiben nicht erhalten.
  - Abstände können längs der Hauptachsen gemessen werden, allerdings i.a. in jeweils einem anderen Maßstab.
- Bei der **isometrischen Axonometrie** bildet die Projektionsebene mit allen Hauptachsen den gleichen Winkel. Hier hat man eine gleichmäßige Verkürzung aller Koordinatenachsen.
- Es gibt nur acht mögliche isometrische Projektionen.



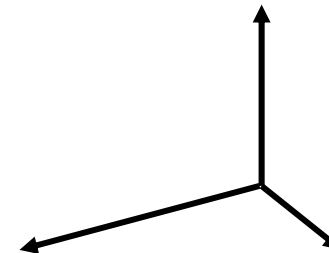


## 3.4 Projektionen

- Bei der **dimetrischen** Projektion bildet die Projektionsebene mit zwei Hauptachsen den gleichen Winkel, die Skalierung ist in zwei Achsenrichtungen gleich.



- Bei der **trimetrischen** Projektion bildet die Projektionsebene mit jeder Achse einen anderen Winkel, die Skalierungen sind in den drei Achsenrichtungen verschieden.



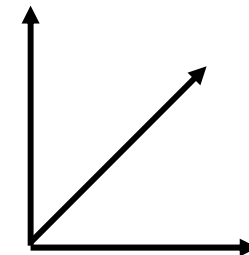
## 3.4 Projektionen

### 3.4.4 Schiefwinklige Parallelprojektionen

- Entstehen, wenn die Projektionsrichtung sich von der Normalen der Projektionsebene unterscheidet.
- Die beiden gebräuchlichsten schiefen Parallelprojektionen sind die sogenannte **Kavalier-** und **Militärprojektion**.

#### Kavalierprojektion

- Der Winkel zwischen Projektionsrichtung und Bildebene beträgt  $45^\circ$ . Hier bleibt die Länge der Projektion einer Linie, die senkrecht zur Bildebene steht, unverändert.
- Es gibt unendlich viele Kavalierprojektionen, eine für jede Richtung in der Bildebene.

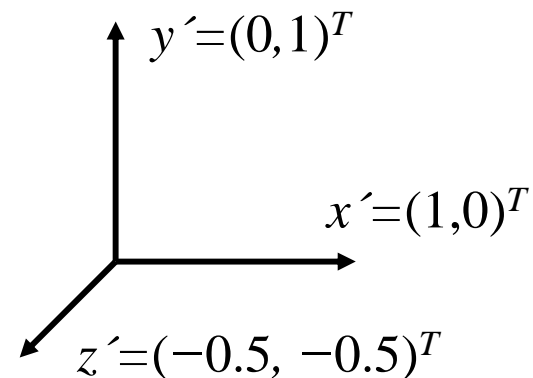


## 3.4 Projektionen

### Militärprojektion / Kabinettprojektion

- Hier soll die Länge der Projektion einer zur Projektionsebene senkrechten Linie halbiert werden.
- Der Winkel zwischen der Projektionsrichtung und der Bildebene beträgt somit  $\arctan 2 = 63.4^\circ$ .

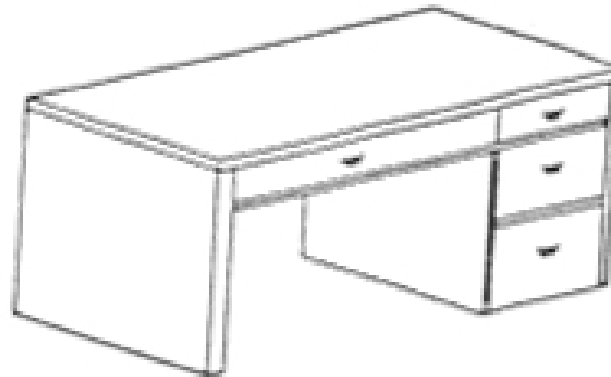
Beispiel:



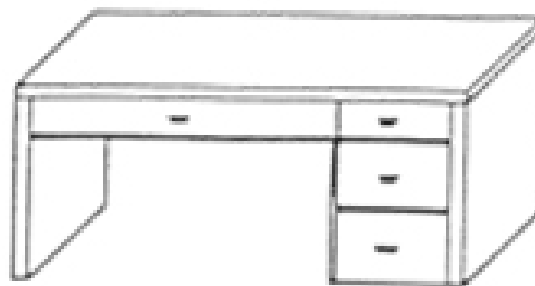
projizierte Einheitsvektoren

## 3.4 Projektionen

Beispiel:



Isometrische 1:1:1



Kabinettprojektion

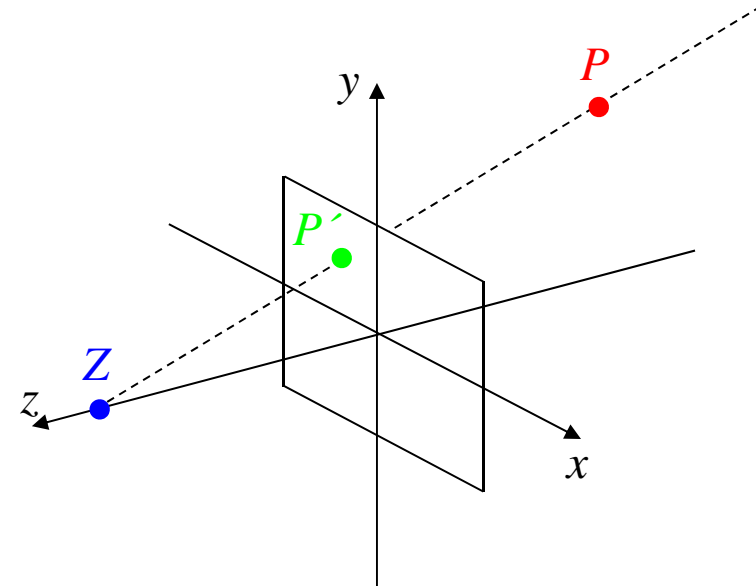


Kavalierprojektion

## 3.4 Projektionen

### 3.4.5 Umsetzung der Zentralprojektion

- Die praktische Umsetzung der perspektivischen Projektion erfolgt je nach Anwendung in unterschiedlichen Konfigurationen, die mittels geeigneter Transformationen des Koordinatensystems erreicht werden können.
- Exemplarisches Setup:
  - Projektionszentrum  $Z$  und Augpunkt fallen zusammen, liegen auf der positiven  $z$ -Achse mit Abstand  $d > 0$  zum Ursprung, also  $Z = (0, 0, d)$ .
  - Blickrichtung ist die negative  $z$ -Achse.
  - Bildebene liegt in der  $(x, y)$ -Ebene.



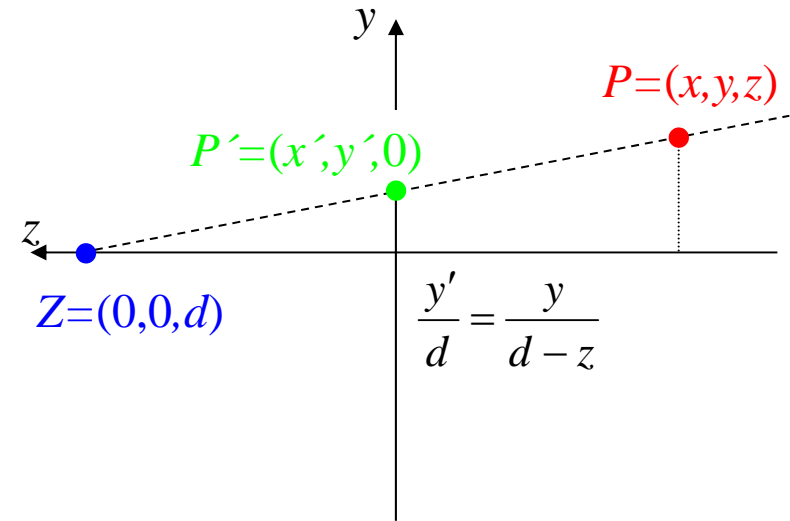
## 3.4 Projektionen

Aus dem Strahlensatz folgt:

$$\frac{y'}{d} = \frac{y}{d-z} \quad \text{und} \quad \frac{x'}{d} = \frac{x}{d-z}$$

Folglich:  $y' = y \cdot \left( \frac{d}{d-z} \right) = y \cdot \left( 1 - \frac{z}{d} \right)^{-1}$

$$x' = x \cdot \left( \frac{d}{d-z} \right) = x \cdot \left( 1 - \frac{z}{d} \right)^{-1}$$



Die Zentralprojektion wird in diesem Setup somit durch folgende Matrix beschrieben:

$$M = \begin{pmatrix} 1 & 0 & 0 & 0 \\ 0 & 1 & 0 & 0 \\ 0 & 0 & 0 & 0 \\ 0 & 0 & -d^{-1} & 1 \end{pmatrix}$$

## 3.4 Projektionen

---

- Erweitertes Setup:
  - In der Bildebene wird ein Sichtfenster (**view window**) spezifiziert durch
    - Breite  $b$ , Höhe  $h$ , Verhältnis Breite zu Höhe.
    - Es ist symmetrisch um den Ursprung angeordnet.
  - Die Projektoren durch die Ecken des Sichtfensters definieren das sogenannte Sichtvolumen (**viewing frustum**).
  - Zusätzlich begrenzen zwei zur Bildebene parallele Ebenen (**front und back clipping plane**) das Sichtvolumen in  $z$ -Richtung.
  - Das Sichtvolumen begrenzt den Teil des Raums, der dargestellt werden soll (siehe 3.6 Clipping).

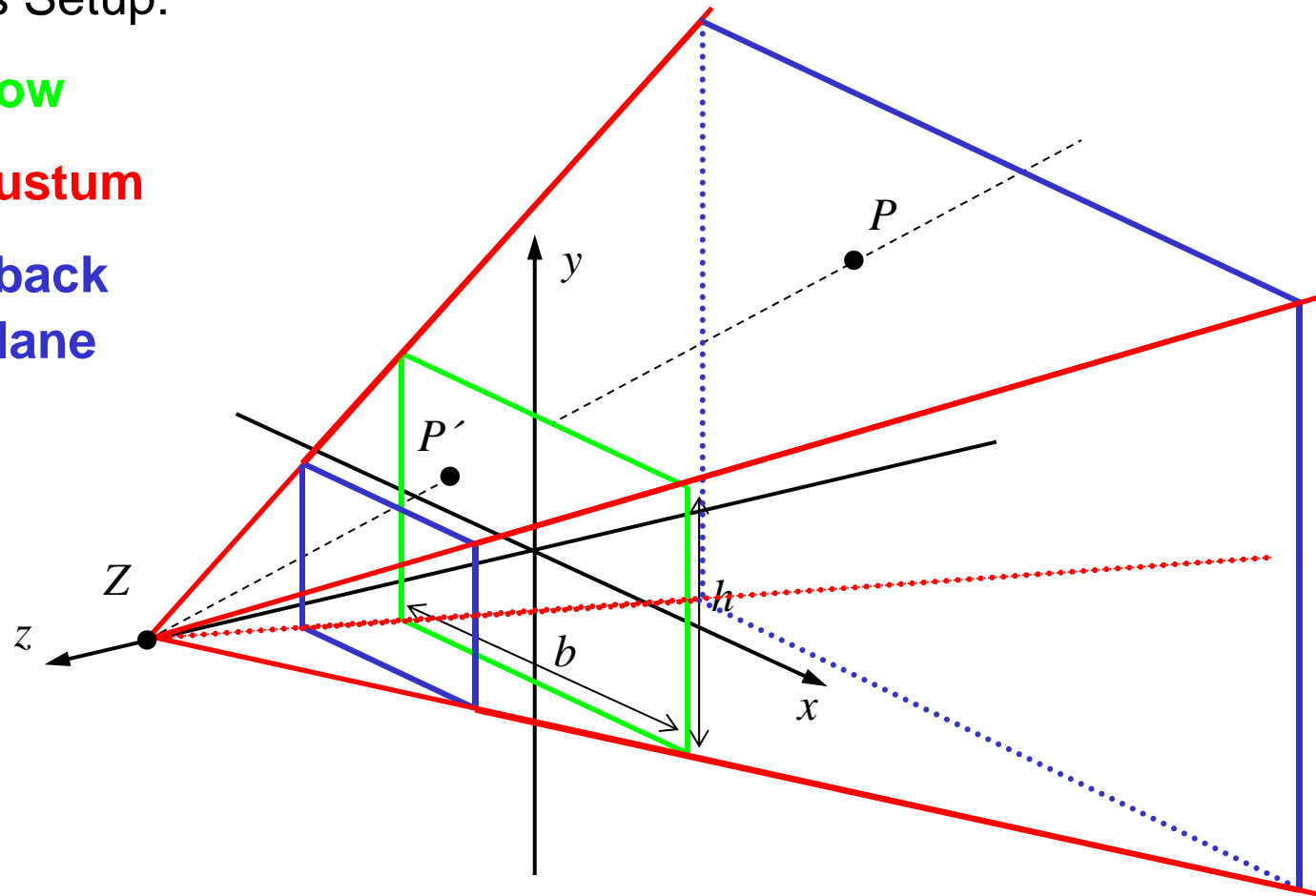
## 3.4 Projektionen

Erweitertes Setup:

view window

viewing frustum

front und back  
clipping plane





## 3.5 Windowing

---

**Window:**

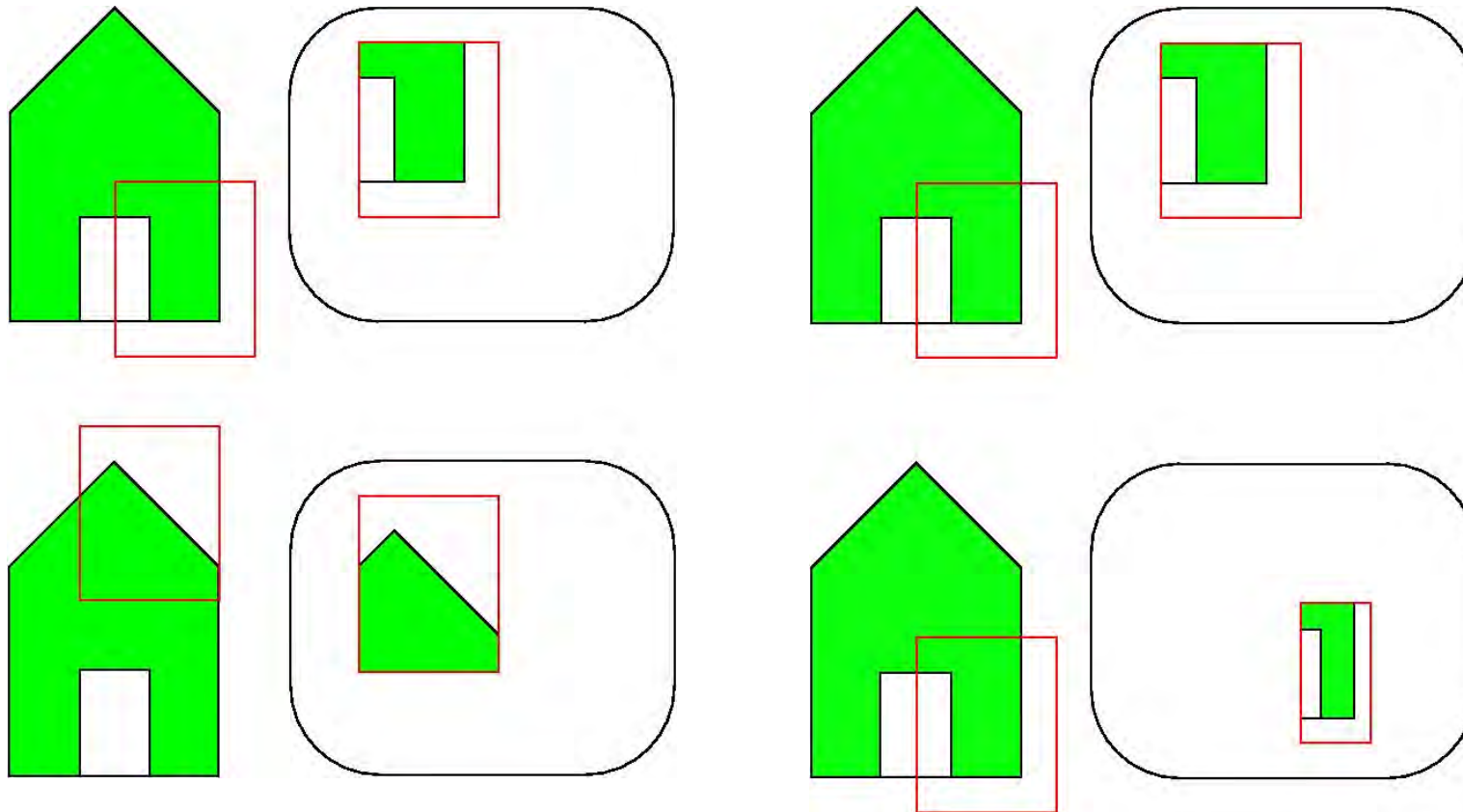
- Auch „view window“ (→ erweitertes Setup Zentralprojektion)
- Definiert Sichtfenster in der Bildebene.
- Definiert, welcher Teilbereich der Szene abgebildet werden soll.

**Viewport:**

- Definiert Bildschirmbereich, in dem der Inhalt eines Windows dargestellt werden soll.

- In der Regel sind sowohl Window als auch Viewport an den Koordinatenachsen ausgerichtete rechteckige Gebiete.
- Die Windowing-Operation (Window-Viewport-Transformation) setzt sich aus elementaren Translationen und Skalierungen zusammen.

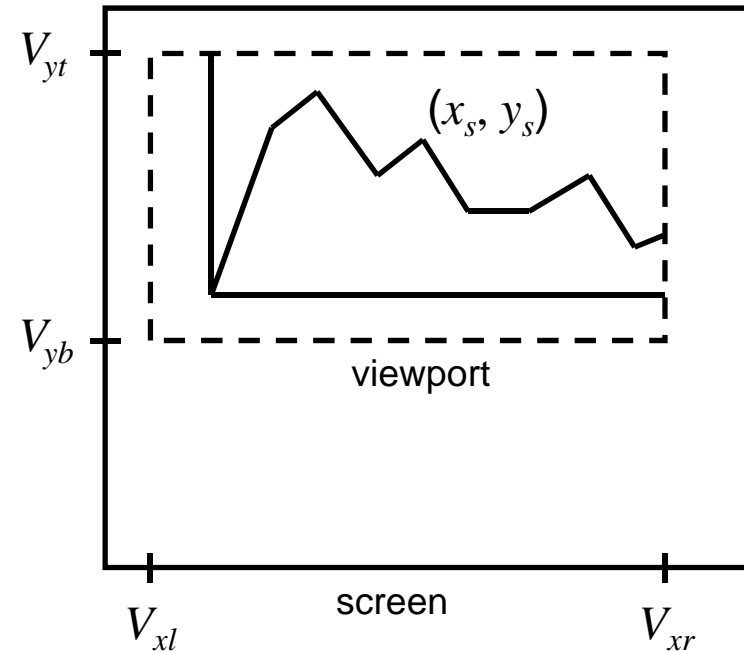
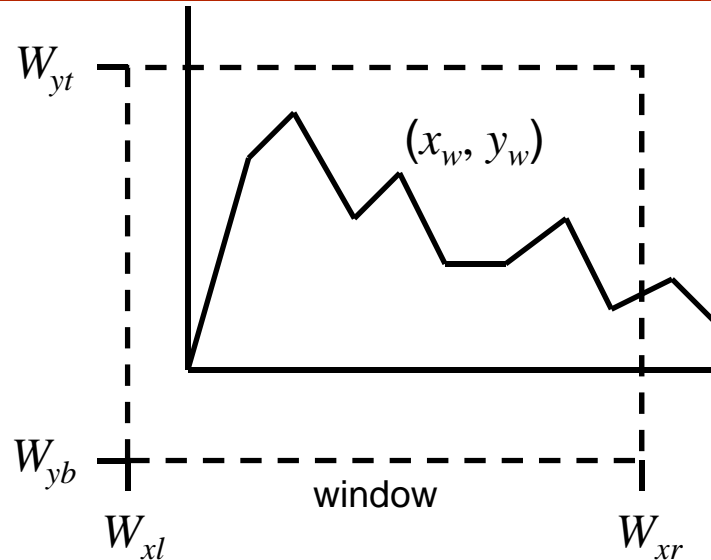
## 3.1 Koordinatentransformationen



Verschiedene Fenster, dieselben Viewports

Dieselben Fenster, verschiedene Viewports

## 3.5 Windowing



$x_w, y_w$

Punktkoordinaten im Window

$x_s, y_s$

Punktkoordinaten auf dem Bildschirm

$W_{xl}, W_{xr}, W_{yb}, W_{yt}$

Koordinaten des Windows

$V_{xl}, V_{xr}, V_{yb}, V_{yt}$

Koordinaten des Viewports im Bildschirmkoordinatensystem



## 3.5 Windowing

### Transformation in 3 Schritten

1) Translation in den Koordinatenursprung

$$x' = x_w - W_{xl},$$

$$y' = y_w - W_{yb}.$$

2) Skalierung auf gewünschte Größe

$$x'' = (V_{xr} - V_{xl}) / (W_{xr} - W_{xl}) \cdot x',$$

$$y'' = (V_{yt} - V_{yb}) / (W_{yt} - W_{yl}) \cdot y'.$$

3) Translation an die gewünschte Stelle

$$x_s = x'' + V_{xl}$$

$$y_s = y'' + V_{yb}.$$

## 3.5 Windowing

Zusammengefasst

$$x_s = a \cdot x_w + b,$$

$$y_s = c \cdot x_w + d,$$

$$\text{mit } a = (V_{xr} - V_{xl}) / (W_{xr} - W_{xl}), \quad b = V_{xl} - a \cdot W_{xl},$$

$$c = (V_{yt} - V_{yb}) / (W_{yt} - W_{yb}), \quad d = V_{yb} - c \cdot W_{yb},$$

→ Punkttransformation durch zwei Multiplikationen und zwei Additionen.

## 3.6 Clipping

---

Sollen Objekte in der Bildebene innerhalb eines Fensters dargestellt werden, so wird ein Verfahren benötigt, um alle außerhalb des Fensters liegenden Objektteile abzuschneiden:

### **Clipping am Fensterrand**

## 3.6 Clipping

---

### 3.7.1 Clipping von Linien

Clipping an einem rechteckigen, achsenparallelen Fenster.

Offensichtlich gibt es drei Fälle, von denen zwei schnell gelöst sind:

1. Beide Endpunkte der Linie liegen innerhalb des Fensters:

Linie zeichnen.

2. Beide Endpunkte der Linie liegen oberhalb, unterhalb, links oder rechts des Fensters:

Linie nicht zeichnen.

3. Sonst: Schnittpunkte der Linie mit dem Fensterrand berechnen und daraus die sichtbare Strecke bestimmen.

## 3.6 Clipping

### 3.7.2 Cohen-Sutherland Line-Clipping Algorithmus

**Idee:** Schnelles Verfahren zur Klassifizierung der Linien als innerhalb, außerhalb, schneidend.

**Gegeben:** Fenster  $(x_{\min}, y_{\min}, x_{\max}, y_{\max})$

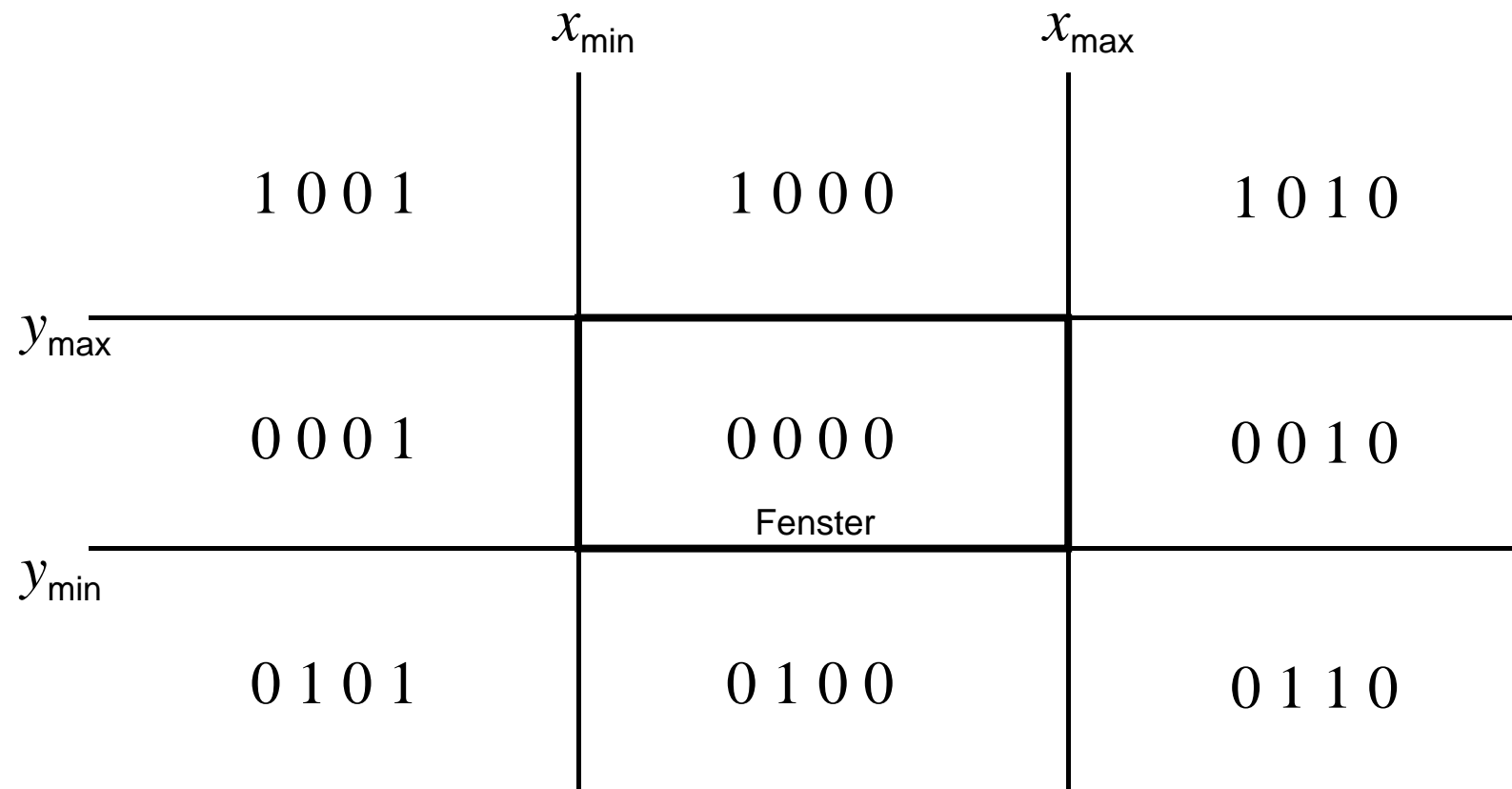
- Die begrenzenden Geraden zerlegen die Bildebene in neun Regionen. Ein 4-Bit-Code gibt Auskunft über die Lage in Bezug auf das Fenster:

	... gesetzt, falls Region ...	
Bit 0	... links des Fensters	$x < x_{\min}$
Bit 1	... rechts des Fensters	$x > x_{\max}$
Bit 2	... unterhalb des Fensters	$y < y_{\min}$
Bit 3	... oberhalb des Fensters	$y > y_{\max}$



## 3.6 Clipping

Codes für Fenster und umgebende Regionen



## 3.6 Clipping

---

- Für die Endpunkte einer Linie bestimme die 4-Bit-Codes:
  - Die Linie liegt **komplett im Fenster**, wenn beide Endpunkte den 4-Bit-Code 0000 besitzen (OR-Verknüpfung ist Null).
  - Die Linie liegt **vollständig außerhalb des Fensters**, wenn der Durchschnitt (AND-Verknüpfung) der 4-Bit-Codes beider Endpunkte von Null verschieden ist.
  - Sonst:
    - Schneide alle Linie nacheinander mit den das Fenster begrenzenden Geraden.
    - Zerlege jede Linie in zwei Teile und bestimme die 4-Bit-Codes der neuen Endpunkte.
    - Der außen liegende Teil wird sofort eliminiert.

## 3.6 Clipping

Beispiele:

- **Linie AD:**

Codes 0001 und 1000

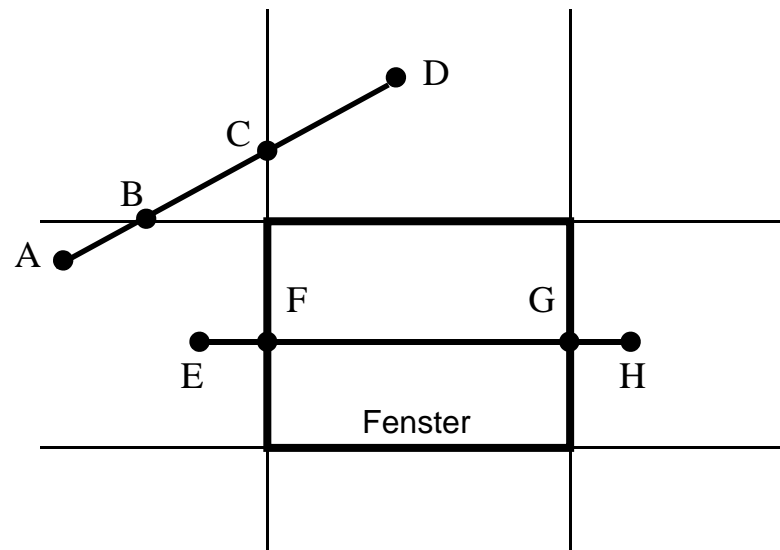
→ Schnittberechnung

Schnitt mit linker Fenstergrenze liefert C

→ eliminiere AC

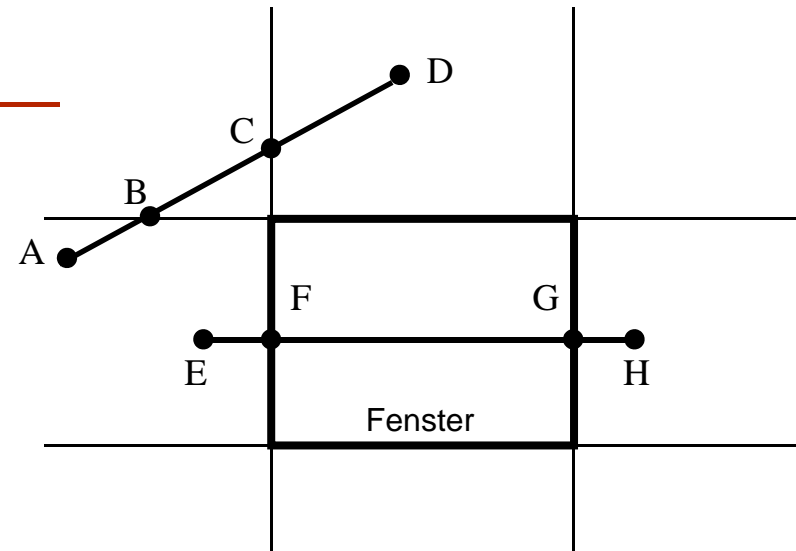
C und D liegen oberhalb des Fensters

→ eliminiere CD



## 3.6 Clipping

Beispiele:



- **Linie EH:**

Codes 0001 und 0010

Schnitt mit linker Fenstergrenze liefert F

→ Schnittberechnung

→ eliminiere EF

- **Linie FH:**

Codes 0000 und 0010

Schnitt mit rechter Fenstergrenze liefert G

→ Schnittberechnung

→ eliminiere GH

- **Linie FG:**

Codes 0000 und 0000

→ FG wird gezeichnet

## 3.6 Clipping

---

### Spezialfälle und Beschleunigungen

- Senkrechte/waagrechte Linien: nur y-/x-Grenzen testen und schneiden.
- Genau ein Endpunkt im Fenster: nur ein Schnitt mit dem Fensterrand.
- Überflüssige Schnittoperationen aus den Bitcodes ermitteln:
  - Jedes Bit korrespondiert genau zu einem Fensterrand.
  - Nur die Fensterränder betrachten, deren zugehörige Bits in den Endpunkt-Codes verschieden sind.

## 3.6 Clipping

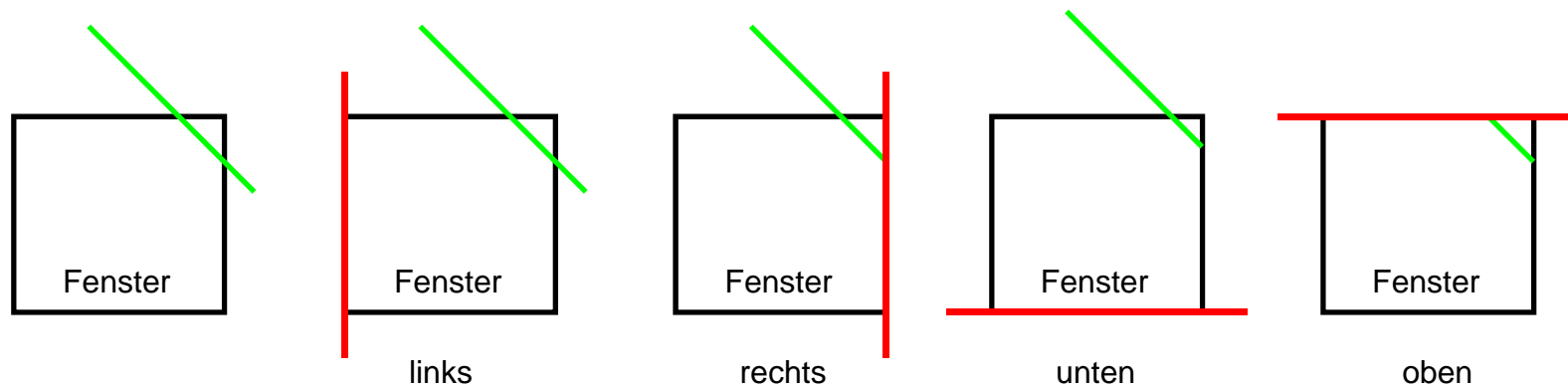
---

- Schnittpunktberechnung durch Bisektionsmethode vermeiden:
  - Linien, die weder ganz außerhalb, noch ganz innerhalb des Fensters liegen, werden so lange unterteilt, bis ihre Länge kleiner als ein Pixel ist.
  - Bei  $2^{10}=1024$  Pixeln in einer Zeile bzw. Spalte erfordert dies maximal 10 Unterteilungen.
  - In Hardware ist diese Variante wegen der schnellen Division durch 2 und ihrer Parallelisierbarkeit schneller als eine direkte Schnittpunktberechnung.

## 3.6 Clipping

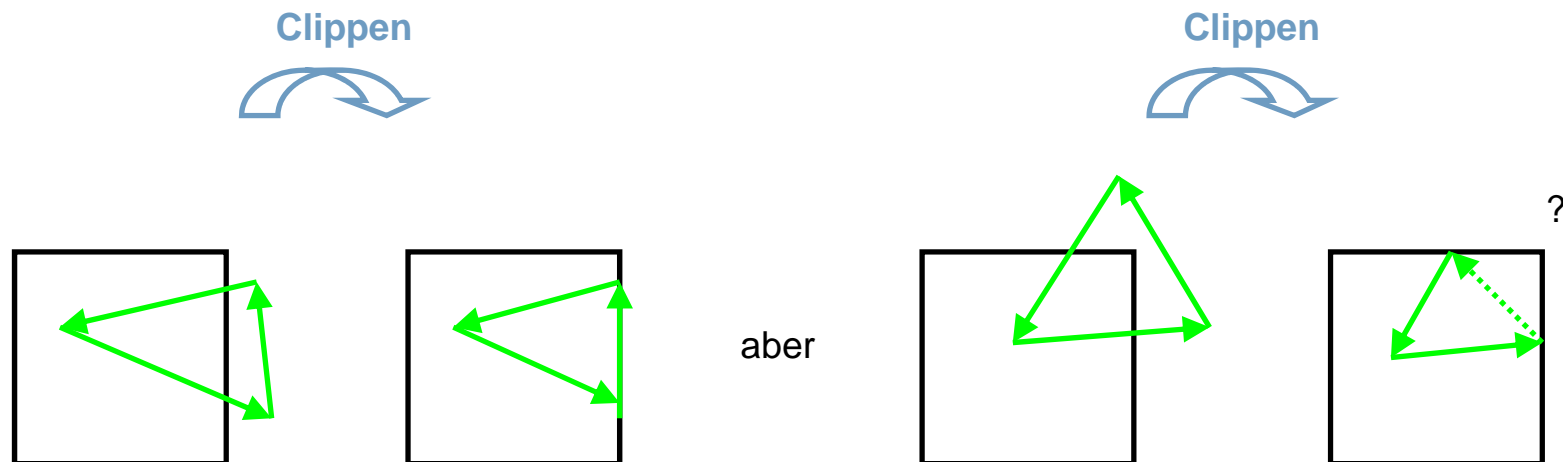
### 3.7.3 Clipping von Polygonen

- Polygone als Begrenzung von Flächen wichtig.
- Naiver Ansatz: jede Seite gegen die Fenster clippen.



## 3.6 Clipping

- Problem: Polygon-Clipping muss wieder geschlossene Polygone liefern, also ggf. Teile des Fensterrandes mit zurückgeben.

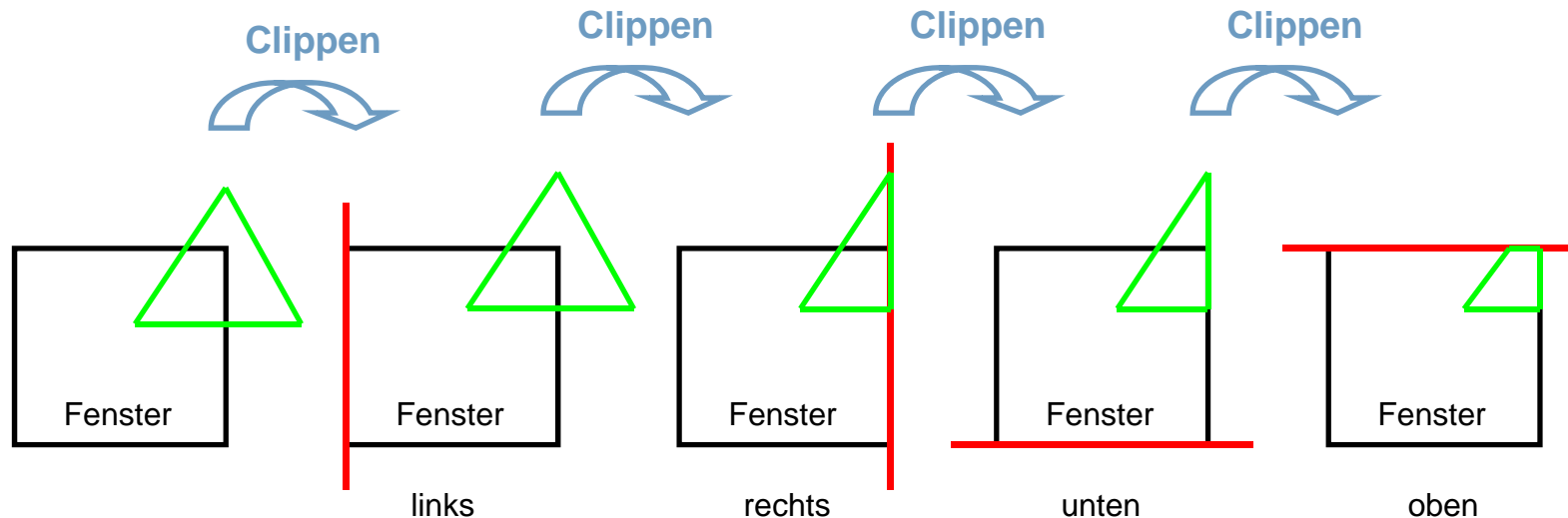




## 3.6 Clipping

### 3.7.4 Sutherland-Hodgman Polygon-Clipping Algorithmus

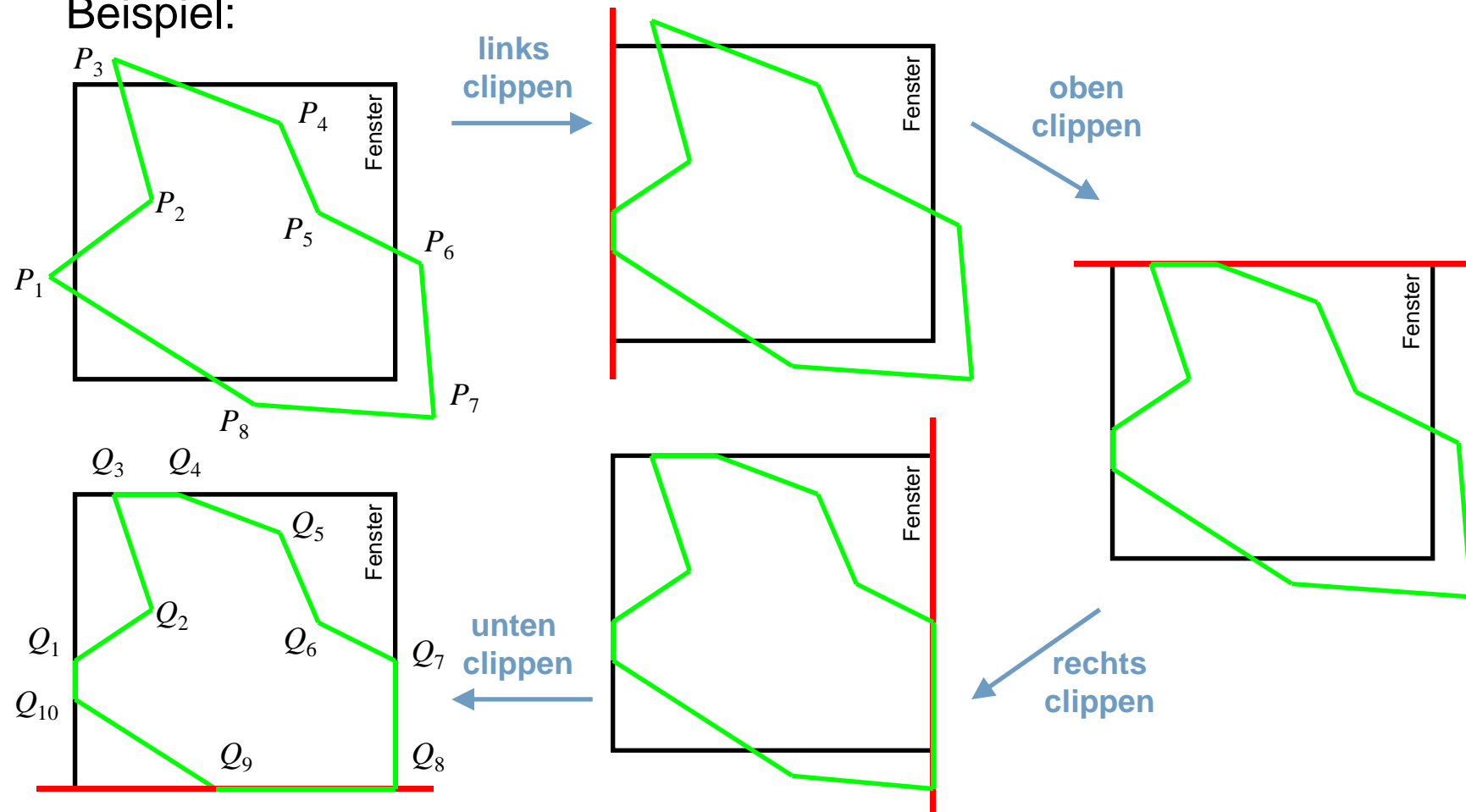
- Vollständige Clippen des Polygons gegen eine Fensterseite.



- Die Zwischenergebnisse müssen gespeichert werden.

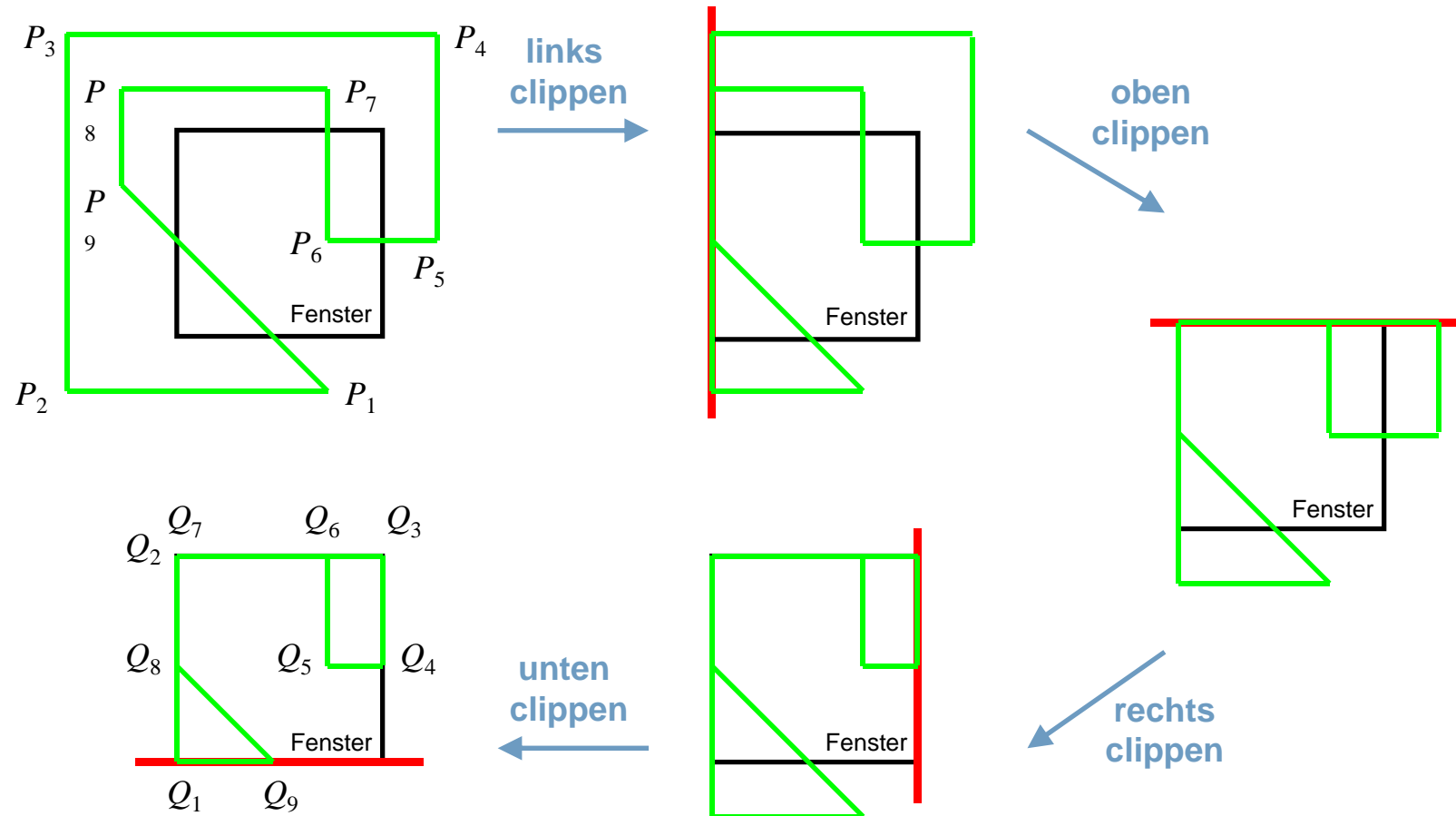
## 3.6 Clipping

Beispiel:



## 3.6 Clipping

Beispiel:



## 3.6 Clipping

---

### 3.7.5 Clipping im Raum

- Statt nach der Projektion in die Bildebene kann auch bereits im dreidimensionalen Objektraum geclippt werden.
  - Vorteil: Nur die sichtbaren Objekte müssen transformiert werden.
- Mit den Ebenengleichungen der Randflächen des Frustums kann bestimmt werden, ob ein gegebener Punkt (Linie, Objekt, etc.) außerhalb oder innerhalb liegt.
- Die vorgestellten zweidimensionalen Clipping-Verfahren können analog auf den dreidimensionalen Fall übertragen werden.

## Lernziele

---

- Was ist der Unterschied zwischen Objekt-, Welt-, und Sichtkoordinaten?
- Wie können Translationen, Rotationen und Skalierungen im 2D und 3D beschrieben werden?
- Was sind affine Transformationen?
- Was sind homogenen Koordinaten?
- Was ist eine perspektivische Projektion?
- Was ist eine Parallelprojektion?
- Was ist das Frustum?
- Was ist der Unterschied zwischen Window und Viewport?
- Was ist Windowing?
- Wie arbeiten Clipping-Algorithmen für Linien und Polygone?